



centroappunti.it

CORSO LUIGI EINAUDI, 55/B - TORINO

Appunti universitari

Tesi di laurea

Cartoleria e cancelleria

Stampa file e fotocopie

Print on demand

Rilegature

NUMERO: **2504A**

ANNO: 2021

APPUNTI

STUDENTE: Mulas Angelo

MATERIA: Aerodinamica - Prof. Di Cicca

Il presente lavoro nasce dall'impegno dell'autore ed è distribuito in accordo con il Centro Appunti.

Tutti i diritti sono riservati. È vietata qualsiasi riproduzione, copia totale o parziale, dei contenuti inseriti nel presente volume, ivi inclusa la memorizzazione, rielaborazione, diffusione o distribuzione dei contenuti stessi mediante qualunque supporto magnetico o cartaceo, piattaforma tecnologica o rete telematica, senza previa autorizzazione scritta dell'autore.

ATTENZIONE: QUESTI APPUNTI SONO FATTI DA STUDENTI E NON SONO STATI VISIONATI DAL DOCENTE.
IL NOME DEL PROFESSORE, SERVE SOLO PER IDENTIFICARE IL CORSO.

AERODINAMICA CORSO I SEMESTRE ANNO LAUREA TRIENNALE
settembre 2020 - gennaio 2021

	pagine
1) Stato Termodinamico di un fluido	1-6
2) Azioni aerodinamiche su ala e profilo alare	7-24
3) Equazioni Fondamentali. Definizioni. Leggi di conservazione	25-52
4) Descrizione adeguata di un flusso Circuitazione. Teoria di Helmholtz e di Kelvin	53-63
5) Flotti bidimensionali. Complessi semplici e composti Teorema di Kutta - Sowkowsky	64-90
6) Potenziale complesso. Cenni a trasformazioni conformi	91-106
7) Teoria delle piccole perturbazioni	107-126
8) Ala ed allungamento finito. Teorie vorticose dell'ala Teoria di Prandtl	127-152
9) Corrente incompressibile di un fluido e proprietà costanti. Flussi paralleli	153-166
10) Flussi ad alto Re. Strato limite	171-192
11) Flussi turbolenti	193-207

1.1) FLUIDODINAMICA ..

Branca della meccanica che studia la dinamica dei fluidi (assunti come mezzi continui, compressibili e non, viscosi e non)

Definizione: Materie che si deforma illimitatamente (fluisce) sotto l'azione di forze esterne

- Liquido o gas, sostanze unite o miscelate
studio con diversi approcci (evidenziano, bayrangiano);
esso è costituito da un elevato numero di particelle fluide, ciascuna
di volume quasi-puntiforme (sufficientemente grande da contenere
un numero elevato di molecole per considerare valide le grandezze
medie, abbastanza piccolo rispetto alle scale del fenomeno studiato)

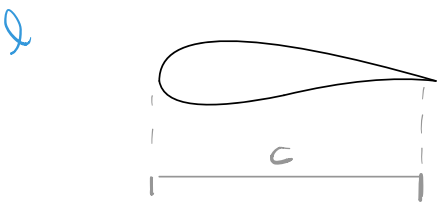
Parametro di controllo $\chi_n \ll 1$ per accettabilità ipotesi del continuo (1°)

4.2) .. e AERODINAMICA

Fluidi aeriformi (principalmente relativi a flussi esterni) e il loro moto relativo attorno ad un corpo solido. Studio con il fine di determinare le forze e le coppie agenti sul corpo per effetto di tale moto

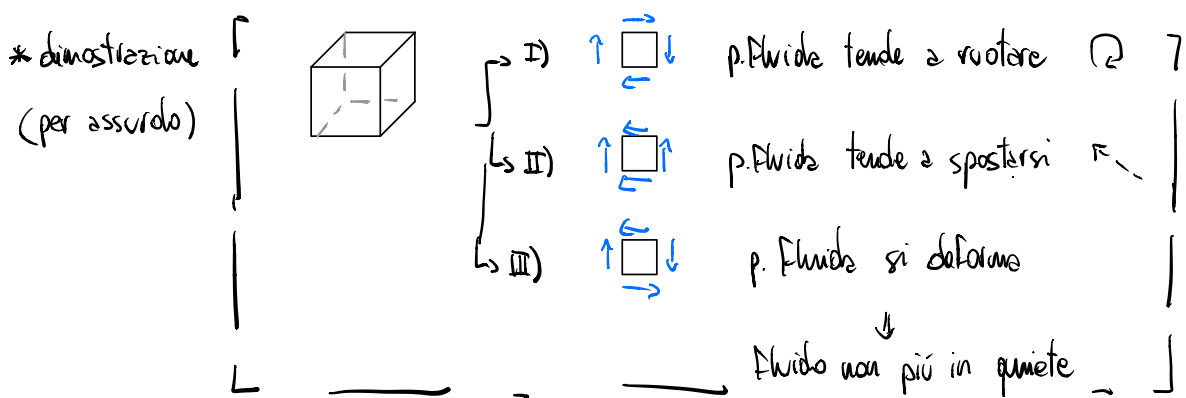
Esempio: Flusso su profilo share

C: cords = $\leq 1 \text{ m}$



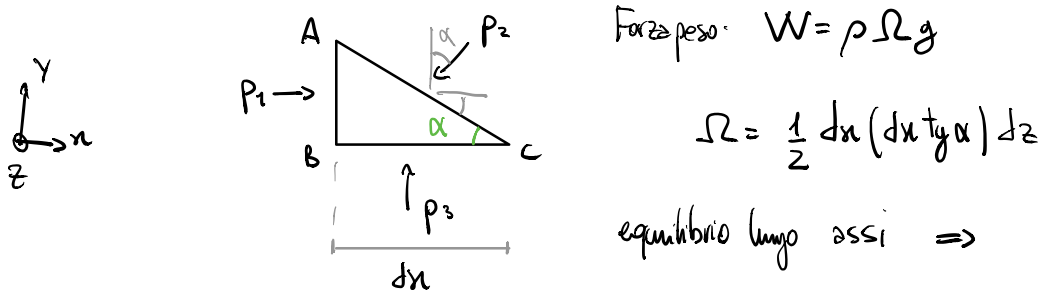
Ø dell'aria standard = 10^{-8} m

$$k_n = 10^{-8} \ll 1 \Rightarrow \text{OK continuity}$$



Legge di Pascal: la pressione di un fluido è uguale in tutte le direzioni *

* dimostrazione: prisma retto a sezione trapezoidale profondo dz



$$\text{x: } p_1 dx \sin \alpha dz = p_2 \frac{dx}{\cos \alpha} dz \sin \alpha \Leftrightarrow p_1 = p_2$$

$$\text{y: } p_3 dx dz = W + p_2 \frac{dx dz \cos \alpha}{\cos \alpha} \Leftrightarrow$$

$$\frac{W}{dx dz} = p_3 - p_2 \quad \text{per } \Omega \rightarrow 0, \quad W \rightarrow 0 \Rightarrow p_3 = p_2$$

oss (III) l'orientamento del prisma e il valore dell'angolo alpha sono arbitrari

oss (IV) p è un campo scalare (come T e ρ)

oss (V) $\Omega \rightarrow \Omega_p \rightarrow 0$ giustifica l'assenza della forza peso per p. fluido

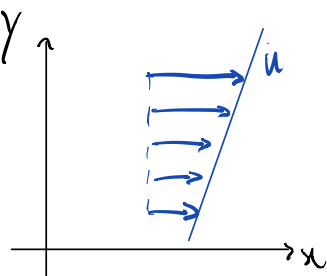
$$\zeta = \mu \frac{U}{h} \quad (1.3) \quad [\text{volum } \text{kg/ms}] \quad \text{1° coeff. di trasporto}$$

L_s coefficiente di viscosità (viscosità dinamica) : $\mu(T, p) \left[\frac{\text{kg}}{\text{ms}} \right]$

OSS VITI) variazioni di μ dovute alla T molto più marcate rispetto alle p

gas: $\frac{\partial \mu}{\partial T} > 0$	liquidi: $\frac{\partial \mu}{\partial T} < 0$	\downarrow gas liquidi \downarrow
gas e liquidi: $\frac{\partial \mu}{\partial p} > 0$	(una debolmente crescente: $\frac{\partial \mu}{\partial T} > \frac{\partial \mu}{\partial p}$)	$-\frac{\partial \mu}{\partial T} > \frac{\partial \mu}{\partial p}$

Caso II)



Legge di Newton

● $\zeta = \mu \frac{\partial u}{\partial y} \quad (1.4)$

Fluidi Newtoniani: Legge lineare fra sforzi visosi e gradienti di velocità

E analizzati nel corso

$\gamma = \frac{\mu}{\rho}$	<u>viscosità cinematica</u>	$[\text{m}^2/\text{s}]$	(1.5)
-----------------------------	-----------------------------	-------------------------	-------

dello Stato Termodinamico di un Fluido ↪

1.3.3) Conduttilità termica (Fluidi in quiete)

Fenomeno diffusivo legato ai moti molecolari ↪ gradienti di temperatura

$$(1.7) \quad q = -K \frac{\partial T}{\partial n}$$

↑
Flusso termico conduttivo
nella direzione \vec{n}

Leyge di Fourier

isotropia: \rightarrow direzione



K coeff. di conduttilità termica; $K(T, p)$ [$\frac{W}{mK}$]

gas: $\frac{\partial K}{\partial T} > 0$

liquidi: $\frac{\partial K}{\partial T} < 0$

gas e liquidi: $\frac{\partial K}{\partial p} > 0$ (debolmente crescente)

gas

$$\frac{\partial K}{\partial T} > \frac{\partial K}{\partial p}$$

liquidi

$$- \frac{\partial K}{\partial T} > \frac{\partial K}{\partial p}$$

Numero di Prandtl

Avis $\rightarrow Pr \approx 0,71$

$$(1.8) \quad Pr = \frac{\mu C_p}{K} = \frac{\nu}{\kappa} \quad C_p: \text{calore specifico a pressione costante}$$

κ \nwarrow diffusività termica

1.3.4) Compressibilità (o complessibilità) (Fluidi in quiete)

Δ Capacità di un fluido di variare di volume a seguito di una variazione di pressione e temperatura

data una massa di fluido Π , si misura la compressibilità attraverso il parametro

elasticità di volume

o (Bulk Elasticity)

(1.9)

$$K = - \frac{\delta P}{\delta \Omega / \Omega}$$

[Pa]

$$\frac{\sqrt{F_{\text{inerzia}}}}{\sqrt{F_{\text{gravità}}} \propto \sqrt{\frac{v^2}{l g}}} = \boxed{\frac{v}{\sqrt{l g}}} = Fr \quad \begin{array}{l} \text{Numero di} \\ \text{Froude} \\ (f.13) \end{array}$$

- Forze di inerzia / Forze di pressione

$$\alpha \frac{m a}{\Delta p S} = \frac{\rho L^3 \cancel{L/t^2}}{\Delta p L^2} = \frac{\rho \frac{L^2}{t^2} L^2}{\Delta p L^2} = \frac{\rho v^2 l^2}{\Delta p l^2}$$

$\xrightarrow{\text{piccole perturbazioni}}$

$$\frac{F_{\text{inerzia}}}{F_{\text{pressione}}} = \frac{\rho v^2}{c^2 \Delta p} = \frac{v^2/c^2}{\Delta p/\rho} = \frac{\Pi^2}{\Delta p/\rho}$$

$$c^2 = \left. \frac{\partial P}{\partial \rho} \right|_{is} = \gamma \frac{P}{\rho} \propto \frac{P}{\rho} \Rightarrow P \propto \frac{\rho}{c^2}$$

$$P = \rho R T$$

$$Fl = \frac{v}{c}$$

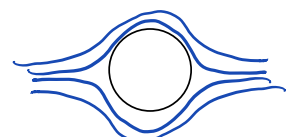
$\begin{array}{l} \text{Numero} \\ \text{di Fisch} \end{array}$

1.3.6) Influenze dei numeri di Reynolds e di Fisch sul campo di moto di un fluido

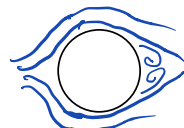
a) Influenze di Re

caso I : oggetto cilindro a sezione circolare (corpo fusto)

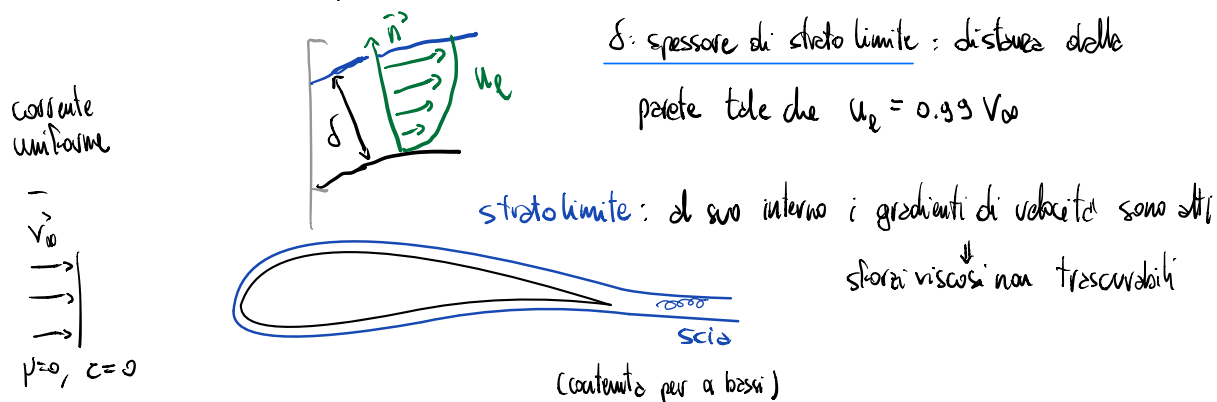
$Re < 4$ dominano gli effetti viscosi su quelli inerziali,
nessuna perturbazione, simmetria monte-valle



$Re_0 = 9.5$ formazione di zone di ricircolo (vortici) a valle del cilindro; tali vortici aumentano l'estensione fino a $Re_0 \approx 26$ in maniera stabile.



- non c'è scambio di calore (né fra piletti fluidi, né tra piletti fluidi e parete / superficie di contatto).



Prima si considera il profilo maggiore dello spessore dello strato limite per studiare il campo di moto del fluido inviscido, la cui pressione è esercitata sullo strato limite. Da tali valori si può studiare il campo di moto al di fuori dello strato limite (distribuzioni di velocità e di pressione) e iterare il procedimento fino alla convergenza. Nel boundary layer la variazione di pressione lungo lo spessore (in direzione normale) è trascurabile.

b) Influenze di Π

△ velocità del suono: velocità con cui propagano le piccole perturbazioni all'interno del fluido.

$$(1.16) \quad C = \sqrt{\gamma \frac{P}{\rho}} = \sqrt{\gamma R^* T} = \sqrt{\left(\frac{\partial P}{\partial \rho}\right)_{is}}$$

$$\text{con } R = 8,314 \frac{\text{J}}{\text{mol K}}$$

$$R^* = R/\mu \left[\frac{S}{kg/m} \right]$$

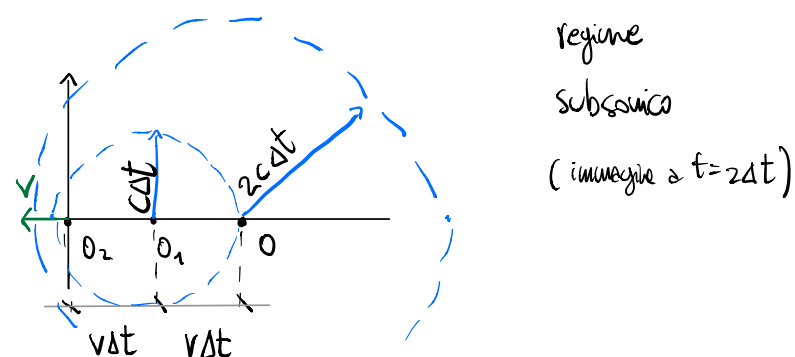
caso I: velivolo puntiforme \approx velivolo $V < C$ ($\pi = \frac{V}{C} < 1$)

Fronte d'onda quando

relativo è in ∂_2

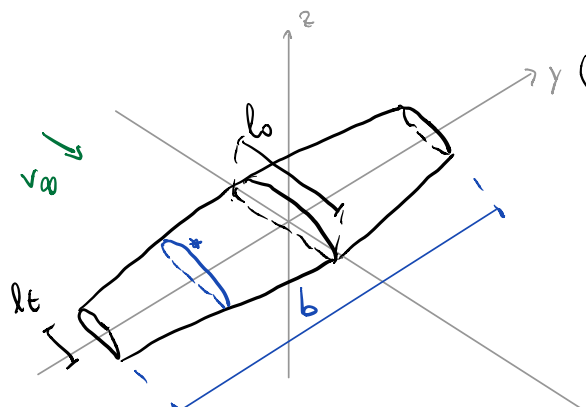
moto velivolo e

punti discreti ogni Δt



2) Ala e profili alari: Azioni aerodinamiche

2.1) Introduzione e Nomenclatura Ala



b : apertura alare [m] (wing span)

λ : allungamento alare [\sim] aspect ratio

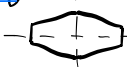
S : superficie in pianta dell'ala [m^2]

profilo alare

corda (congiunge le due estremità) [m]

bordo di attacco/leading edge

bordo di fuga/Trailing edge

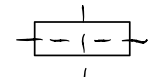
- ala rastremata (Tapered wing)
 

: la corda non è costante

(in particolare diminuisce con la distanza delle nezzerie dell'ala verso l'estremità) $b_0 \rightarrow b_t$

taper ratio: $b_t/b_0 = t$ rapporto di rastremazione

in alternativa: ala non rastremata $c = K$.



$$(\Rightarrow \text{pianta rettangolare}) \quad \lambda = b^2/S = \frac{b^2}{b \cdot c} = \frac{b}{c}$$

- ala svergolata (twisted wing)

svergolamento geometrico: profili tutti dello stesso tipo, ma non giacciono sullo stesso piano



estremità

nezzerie

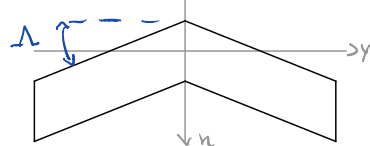
(es: NACA 44-12, ..) (a varie)

↪ wash in (sdito, ma possibile wash out:  rastremato)

- svergolamento aerodinamico: corde giacciono sullo stesso piano, ma il tipo di profilo cambia lungo l'apertura alare.

in molti casi, l'ala presenta entrambi gli svergolamenti

- ala a freccia

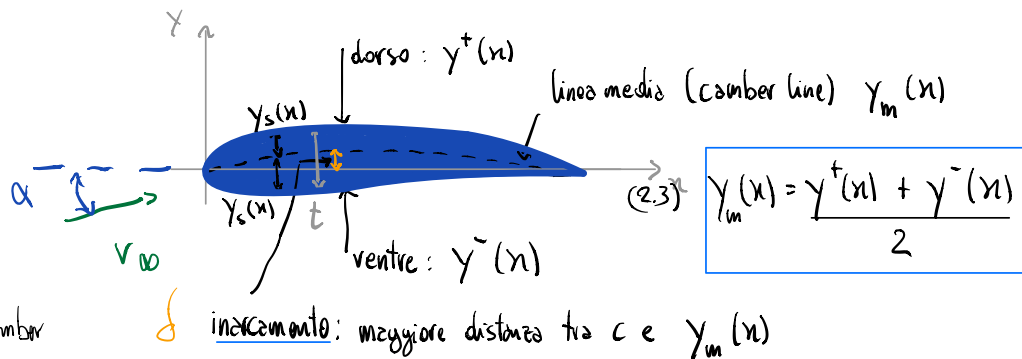


Λ : angolo di freccia

sweepback angle

2.2) Introduzione e Nomenclatura profilo aliare

ossI) cambia
il s.r.



ossII) profilo simmetrico (privo di incarico) $\Rightarrow y^-(x) = -y^+(x)$
 $c \equiv$ linea media

legge di distribuzione dello spessore :

$$y_s(x) = \frac{y^+(x) - y^-(x)}{2} \quad (2.4)$$

spessore massimo : t

spessore relativo t/c

OSS II) delle ip. $\beta^1, \beta \ll 1 \Rightarrow \beta \approx \beta'$

ZEROZ 3

$$dF_n^- = -(p - p_\infty) \sin \beta' ds^- = -(p - p_\infty) \sin \beta ds^- \quad (2.8.1)$$

$$dF_y^- = +(p - p_\infty) \cos \beta' ds^- = +(p - p_\infty) dx \quad (2.8.2)$$

OSS III) delle ip: $|dF_n^\pm| \ll |dF_y^\pm| \Rightarrow |R_n| \ll |R_y| \quad (2.9)$

$$\vec{R} \rightarrow R_n, R_y : R_n = \int_0^C dF_n^+ + \int_0^C dF_n^-$$

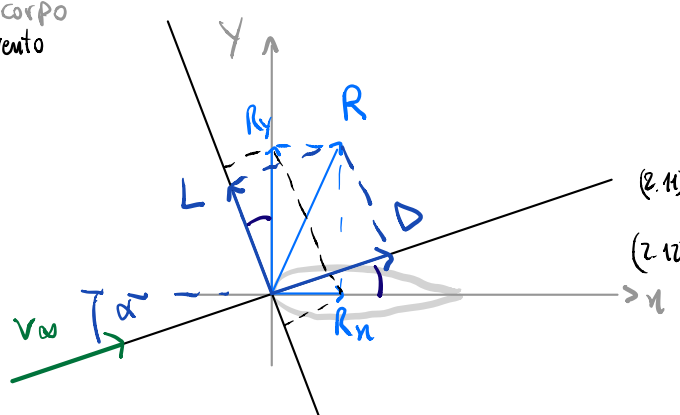
$$R_y = \int_0^C dF_y^+ + \int_0^C dF_y^- =$$

$$(2.10) \quad = \int_0^C [(p^- - p_\infty) - (p^+ - p_\infty)] dx = \int_0^C (p^- - p^+) dx$$

Alo ad allungamento finito ($\rightarrow \text{... lez 2}$)

Componenti secondo gli assi vento (non in scala)

S.R. corpo
S.R. vento



D (drag) : Resistenza

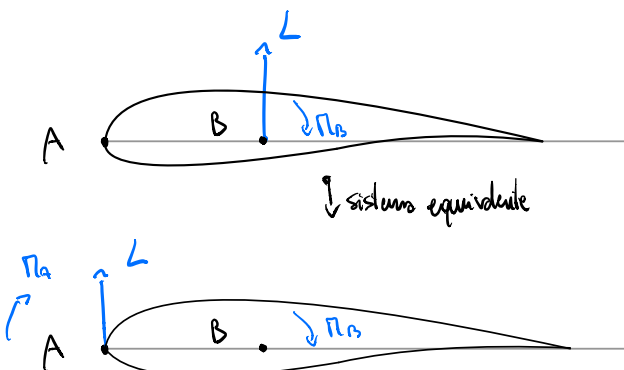
L (lift) : Portanza

$$(2.11) \quad L = R_y \cos \alpha - R_x \sin \alpha$$

$$(2.12) \quad D = R_x \cos \alpha + R_y \sin \alpha$$

$\text{se } \alpha \ll 1 \text{ rad} \rightarrow \begin{cases} \sin \alpha \approx \alpha \\ \cos \alpha \approx 1 \end{cases} \rightarrow L = R_y - R_x \alpha \approx R_y \quad (2.11.2) \\ D = R_x + R_y \alpha \approx R_x \quad (2.12.2)$

- oss v) • Poiché il momento risultante rispetto al C.P. è nullo, consideriamo un sistema di forze equivalente con la risultante sul punto A e il momento cercato come quello aggiuntivo
• anche dF_y^+ è disegnato (come dF_y) verso l'alto perché quello è il verso tale per cui entrambi danno un contributo opposto a dM_A ; inoltre,
 $p^+ - p^- < 0$.



B: generico punto lungo la corda

formula di trasposizione sul momento

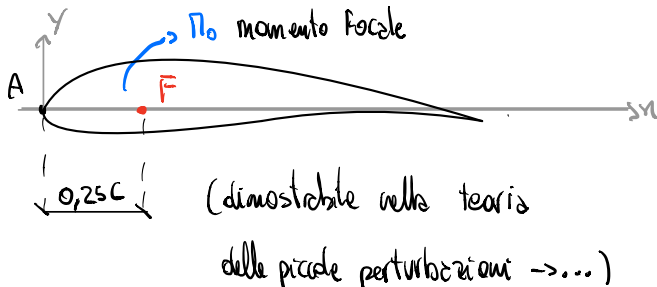
$$(2.15) \quad \Pi_B = \Pi_A + L \times \chi_B$$

Per individuare il C.P.: $\Pi_B = 0 \Leftrightarrow \Pi_A + L \times \chi_{B^*} = 0 \Rightarrow$

$$\Rightarrow \chi_{B^*} = \chi_{C_0} = -\frac{\Pi_A}{L} > 0 \quad (2.16) \Rightarrow \Pi_A < 0 \quad (\rightarrow \text{picchiare})$$

oss VI) Al varicare dell'assetto (di α) (e di r_∞) varia la posizione del C.P.
Quindi si preferisce il Fuoco

Fuoco di un profilo aereo



F: punto lungo la corda tale per cui il momento è costante al varicare dell'incidenza

$$\frac{d\Pi_0}{d\alpha} = 0 \quad (\leftarrow (2.2) \dots)$$

19

$$\begin{cases} c = 1 - d - e \\ a + 2 - d - 2e - 3 + 3d + 3e - d - e = 1 \\ b = 2 - d - 2e \end{cases} \Rightarrow \begin{cases} c = 1 - d - e \\ a + d = 2 \Rightarrow a = 2 - d \\ b = 2 - d - 2e \end{cases}$$

$$F \sim l^{2-d} v^{2-d-2e} \rho^{1-d-e} \mu^d p^e$$

$$F \sim \rho v^2 l^2 [l^{-1} v^1 \mu \tilde{\rho}^1]^d [v^{-2} \tilde{\rho}^{-1} \mu]^e =$$

$$= \rho v^2 l^2 \left[\frac{\mu}{l v \rho} \right]^d \left[\frac{\mu}{\rho v^2} \right]^e$$

$$\frac{1}{Re} \quad \frac{1}{(1/\mu)^2} \Leftarrow c^2 = \gamma \frac{\mu}{\rho} \sim \frac{\mu}{\rho}$$

$$F \sim \rho v^2 l^2 Re^{-d} \Pi^{-2e}$$

$$[N] = \left[\frac{k_0}{m^2} \frac{m^2}{s^2} \right] [\rightarrow] [\rightarrow] \checkmark$$

Introduzione all'Aerodinamica di base: coefficienti adimensionali

coefficiente adimensionale delle forze (riprendendo oss VIII) ..)

$$\Delta C_F = \frac{F}{\frac{1}{2} \rho v^2 S} = f(\alpha, Re, \Pi) \quad (2.16)$$

per AIA (ad allungamento finito)

oss*) • Pedici in maiuscolo
• S: superficie in pieno

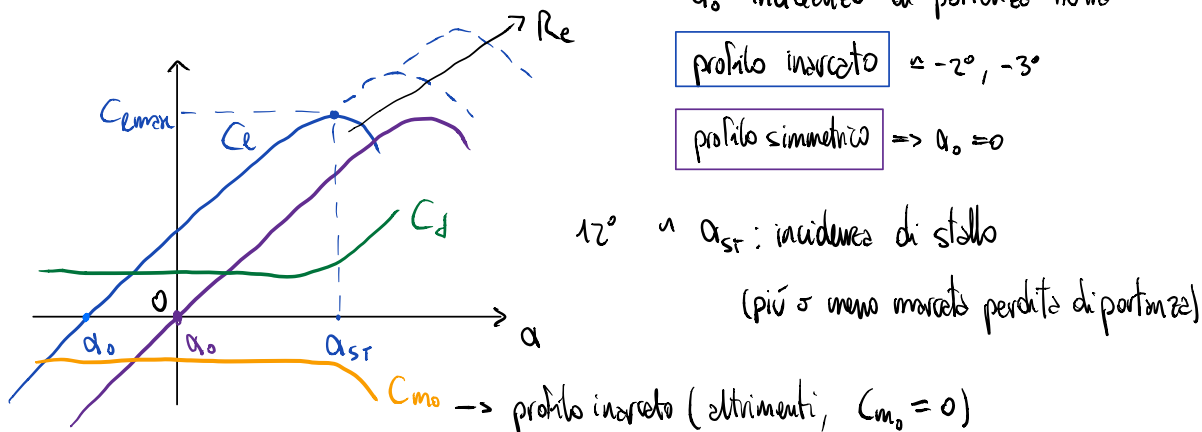
coefficiente di Portanza

$$(2.17) \Delta C_L = \frac{L}{\frac{1}{2} \rho v_\infty^2 S} = f_L(\alpha, Re, \Pi)$$

coefficiente di resistenza

$$(2.18) \Delta C_D = \frac{D}{\frac{1}{2} \rho v_\infty^2 S} = f_D(\alpha, Re, \Pi)$$

Curva $C_L - \alpha$, $C_d - \alpha$ e $C_{m_0} - \alpha$ (da misurazioni in galleria del vento o simulazioni numeriche)



Influenza del Re : $Re \uparrow \Rightarrow C_L - \alpha$ si estende nel suo tratto lineare

$$\left. \frac{\partial C_L}{\partial \alpha} \right|_{\text{tratto lineare}} = C_L^l \quad : \text{coefficiente angolare di portanza del profilo}$$

Nelle teorie dei profili sottili, si dimostra: $C_L^l = 2\pi$ (2.23) oss * II): α in rad

$$(2.24) \quad C_L^l (\alpha - \alpha_0) = 2\pi (\alpha - \alpha_0) = C_L \quad \Rightarrow \quad \text{è sufficiente conoscere } \alpha_0 \text{ per calcolare il } C_L$$

... per un'altra cosa si complicano ($\rightarrow \dots$)

Così come per le forze, anche per la pressione esiste un parametro adimensionale

Coefficiente di pressione

$$(2.25) \quad C_p = \frac{P - P_\infty}{\frac{1}{2} \rho V_\infty^2}$$

pressione statica in un punto del profilo

pressione dinamica in condizioni asintotiche

Dati due profili in similitudine geometrica, a parità di Re , π e α , il C_p è lo stesso in punti corrispondenti (anche se pressioni diverse)

3) Equazioni Fondamentali

Premesse: richiami sugli operatori matematici

$$\text{operatore Nabla } \nabla = \left(\frac{\partial}{\partial x} \hat{i} + \frac{\partial}{\partial y} \hat{j} + \frac{\partial}{\partial z} \hat{k} \right)$$

• dato F scalare \Rightarrow gradiente di F : $\nabla F = \frac{\partial F}{\partial x} \hat{i} + \frac{\partial F}{\partial y} \hat{j} + \frac{\partial F}{\partial z} \hat{k}$ vettore

$$\text{es: pressione } p \Rightarrow \nabla p = \frac{\partial p}{\partial x} \hat{i} + \frac{\partial p}{\partial y} \hat{j} + \frac{\partial p}{\partial z} \hat{k}$$

\Rightarrow se \vec{F} è un vettore, $\nabla \vec{F}$ restituisce un tensore ($\rightarrow \dots$)

• dato \vec{q} vettore \Rightarrow divergenza di \vec{q} : $\nabla \cdot \vec{q} = \nabla \cdot (q_x \hat{i} + q_y \hat{j} + q_z \hat{k}) =$

$$\boxed{\nabla \cdot \vec{q} = 0 \Rightarrow \text{campo sdivisibile}} \quad \stackrel{\text{dilaziono}}{=} \quad = \frac{\partial q_x}{\partial x} + \frac{\partial q_y}{\partial y} + \frac{\partial q_z}{\partial z} \quad \text{scalare}$$

\hat{i} volume costante (per tensore da un vettore $\rightarrow \dots$)

$$\text{es: velocità } \vec{v} = (u \hat{i} + v \hat{j} + w \hat{k}) \Rightarrow \nabla \cdot \vec{v} = \frac{\partial u}{\partial x} + \frac{\partial v}{\partial y} + \frac{\partial w}{\partial z}$$

La p.f. (particella fluida) si può deformare ma non può cambiare volume

$$\cdot \text{ dato } \vec{q} \text{ vettore } \Rightarrow \text{rotore di } \vec{q}: \quad \nabla \times \vec{q} = \begin{vmatrix} \hat{i} & \hat{j} & \hat{k} \\ \frac{\partial}{\partial x} & \frac{\partial}{\partial y} & \frac{\partial}{\partial z} \\ q_x & q_y & q_z \end{vmatrix} =$$

$$= \left(\frac{\partial q_z}{\partial y} - \frac{\partial q_y}{\partial z} \right) \hat{i} - \left(\frac{\partial q_z}{\partial x} - \frac{\partial q_x}{\partial z} \right) \hat{j} + \left(\frac{\partial q_y}{\partial x} - \frac{\partial q_x}{\partial y} \right) \hat{k} \quad \text{vettore}$$

$\nabla \times \vec{q} = 0 \Rightarrow$ campo irrotazionale: $\exists \Phi$ funzione potenziale scalare: $\nabla \Phi = \vec{q}$

$$\text{dimostrazione } \nabla \times \vec{q} = \nabla \times (\nabla \Phi) = 0$$

$$\text{es: } \vec{v} = (u \hat{i} + v \hat{j} + w \hat{k}) \Rightarrow \nabla \times \vec{v} = \begin{vmatrix} \hat{i} & \hat{j} & \hat{k} \\ \frac{\partial}{\partial x} & \frac{\partial}{\partial y} & \frac{\partial}{\partial z} \\ u & v & w \end{vmatrix} =$$

$$\vec{v} \cdot \vec{\nabla} = \begin{bmatrix} uu & uv & uw \\ vu & vv & vw \\ wu & wv & ww \end{bmatrix} = \bar{A}$$

$$\nabla \cdot \bar{A} = \left[\frac{\partial}{\partial x} \quad \frac{\partial}{\partial y} \quad \frac{\partial}{\partial z} \right] \begin{bmatrix} uu & uv & uw \\ vu & vv & vw \\ wu & wv & ww \end{bmatrix} =$$

$$\left[\left(\frac{\partial(uu)}{\partial x} + \frac{\partial(uv)}{\partial y} + \frac{\partial(uw)}{\partial z} \right) \hat{i} + \left(\frac{\partial(vu)}{\partial x} + \frac{\partial(vv)}{\partial y} + \frac{\partial(vw)}{\partial z} \right) \hat{j} + \left(\frac{\partial(wu)}{\partial x} + \frac{\partial(wv)}{\partial y} + \frac{\partial(ww)}{\partial z} \right) \hat{k} \right]$$

$$\nabla \cdot \bar{A} = \left(\frac{\partial(uu)}{\partial x} + \frac{\partial(uv)}{\partial y} + \frac{\partial(uw)}{\partial z} \right) \hat{i} + \left(\frac{\partial(vu)}{\partial x} + \frac{\partial(vv)}{\partial y} + \frac{\partial(vw)}{\partial z} \right) \hat{j} + \left(\frac{\partial(wu)}{\partial x} + \frac{\partial(wv)}{\partial y} + \frac{\partial(ww)}{\partial z} \right) \hat{k}$$

$\triangle \bar{\mathbf{D}}$: tensore velocità di deformazione

$$\text{tr}(\bar{\mathbf{D}}) = \frac{\partial u}{\partial x} + \frac{\partial v}{\partial y} + \frac{\partial w}{\partial z} = \nabla \cdot \vec{v} \quad (3.1)$$

le altre componenti indicano invece le
velocità di deformazione di taglio
(variazioni di forma ma non di volume)

velocità di dilatazione volumetrica

$$\square \rightarrow \vec{v}$$

$\triangle \bar{\mathbf{B}}$: tensore velocità di rotazione

! 3 componenti indipendenti \Rightarrow nessuna perdita di informazione in $\vec{b} = (\hat{i} \cdot \vec{b}, \hat{j} \cdot \vec{b}, \hat{k} \cdot \vec{b})$

$$\begin{aligned} \vec{b} &= \left(\frac{1}{2} \left(\frac{\partial w}{\partial y} - \frac{\partial v}{\partial z} \right), \frac{1}{2} \left(\frac{\partial u}{\partial z} - \frac{\partial w}{\partial x} \right), \frac{1}{2} \left(\frac{\partial v}{\partial x} - \frac{\partial u}{\partial y} \right) \right) = \\ &= \frac{1}{2} \left(\frac{\partial w}{\partial y} - \frac{\partial v}{\partial z} \right) \hat{i} + \frac{1}{2} \left(\frac{\partial u}{\partial z} - \frac{\partial w}{\partial x} \right) \hat{j} + \frac{1}{2} \left(\frac{\partial v}{\partial x} - \frac{\partial u}{\partial y} \right) \hat{k} \end{aligned}$$

$$\vec{w} = \nabla \times \vec{v} = \begin{vmatrix} \hat{i} & \hat{j} & \hat{k} \\ \frac{\partial}{\partial x} & \frac{\partial}{\partial y} & \frac{\partial}{\partial z} \\ u & v & w \end{vmatrix} = \left(\frac{\partial w}{\partial y} - \frac{\partial v}{\partial z} \right) \hat{i} + \left(\frac{\partial u}{\partial z} - \frac{\partial w}{\partial x} \right) \hat{j} + \left(\frac{\partial v}{\partial x} - \frac{\partial u}{\partial y} \right) \hat{k} = 2\vec{b}$$

$$(3.2) \quad \vec{b} = \frac{\vec{w}}{2} = \vec{\Omega} : \triangle \text{velocità di rotazione delle p.f.}$$

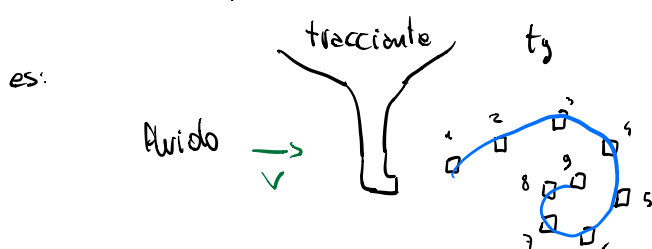
- I) traslazione (rigide) $\mapsto \vec{v}$
- II) rotazione (rigide) $\mapsto \bar{\mathbf{B}}, \vec{b} = \frac{\vec{w}}{2} = \vec{\Omega} = \frac{\nabla \times \vec{v}}{2}$
- III) dilatazione volumetrica $\mapsto \text{tr}(\bar{\mathbf{D}}) = \nabla \cdot \vec{v} = \sum_{i=1}^3 \frac{\partial u_i}{\partial x_i}$
- IV) deformazione (o taglio) $\mapsto \frac{\partial u_i}{\partial x_j} \quad i \neq j$

per illustrare ↴

29

c) Streak lines (o Linee di fumo)

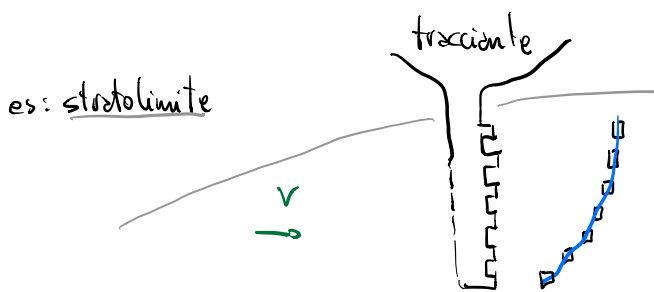
Linee che uniscono le posizioni (in un dato istante) di tutte le particelle rilasciate in un punto prefissato in istanti successivi.



mostra la **coerenza spaziale**
delle strutture interne al fluido

d) Timelines

Linee che uniscono le posizioni (in un dato istante) di tutte le particelle rilasciate da più punti nello stesso istante.



mostra la **coerenza temporale**
delle strutture interne al fluido

OSSII) In caso di flusso stazionario $\frac{d}{dt} = 0$: pathline, streamline e streakline coincidono.

OSSIII) Prima spiegazione del concetto di coerenza (funzioni di correlazione $\rightarrow \dots$)

Dipendenza del vettore velocità di ogni punto appartenente a una struttura fluida (es: struttura vorticosa) da un criterio

es: $T \rightarrow \nabla T$ Legge di Fourier

$$\vec{q} = -K \nabla T$$

per Schmidt

equazione di bilancio dell'energia interna $\Rightarrow -\nabla \cdot \vec{q} = -\nabla \cdot [-K \nabla T] \Leftrightarrow$ proprietà costanti

$$-\nabla \cdot \vec{q} = K \nabla^2 T \text{ con } \nabla^2 T = \frac{\partial^2 T}{\partial x^2} + \frac{\partial^2 T}{\partial y^2} + \frac{\partial^2 T}{\partial z^2}$$

Laplaciano

Derivata locale o euleriana: $\frac{\partial u}{\partial t}$: valutazione dell'accelerazione a punto fisso
(in una direzione)

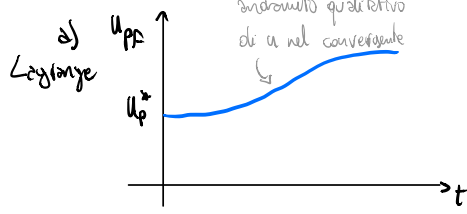
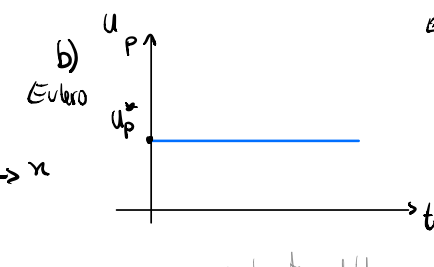
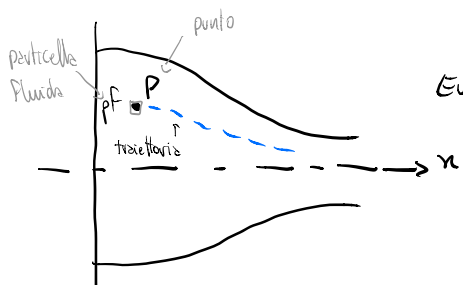
Caso stazionario: $\frac{\partial}{\partial t} = 0$

Spiegazione differenze fra a) e b) tramite esempio

Flusso all'interno di un condotto convergente;

$$\frac{\partial}{\partial t} = 0$$

componente longitudinale delle
velocità delle particelle
che passano nel punto P



componente longitudinale delle
velocità della p.f. che
all'istante t=0 si
troverà in P

Derivata Lagrangiana = Derivata Euleriana + Termine convettivo

(\rightarrow AD Lez 3.1)

- 3.2) **Sforzi nel Fluido**
- globali
- Fluido soggetto a
- Forze di campo (a raggio di azione lungo) (gravitazioni, elettrostatiche...)
 L'azione esterne
 - Forze Interne o Superficiziali (a raggio di azione corto) (pressioni, ...)
 Localmente a superficie o alle quali le parti di fluido sono vicine
 L'azione delle materie adiacenze
 direttamente proporzionale all'estensione di

3.2.1) **Sforzi normali e tangenziali**

(\Leftarrow) agiscono su una superficie o del fluido

In un S.R. ($1, 2, 3$), si definisce Π tensore degli sforzi $\Pi = \begin{bmatrix} \sigma_{11} & \sigma_{12} & \sigma_{13} \\ \sigma_{21} & \sigma_{22} & \sigma_{23} \\ \sigma_{31} & \sigma_{32} & \sigma_{33} \end{bmatrix}$

simmetrico: $\sigma_{ij} = \sigma_{ji}$
 \Rightarrow solo 6 componenti

dimostrazione: equilibrio alla rotazione di un cubetto elementare

Sup. in piano di una sola faccia

$$0 \uparrow \sigma_{12} \frac{\partial}{\partial} - \sigma_{21} \frac{\partial}{\partial} = 0$$

Π rappresenta un $\boxed{[C\text{ampo tensoriale} \mapsto t, \text{spreco}]}$ definito per ogni punto del dominio e istante per istante

e) **Fluido in quiete** (\Leftarrow): solo sforzi normali (σ_{ij})

$$\Pi = \begin{bmatrix} \sigma_{11} & 0 & 0 \\ 0 & \sigma_{22} & 0 \\ 0 & 0 & \sigma_{33} \end{bmatrix} \Leftrightarrow \sigma_{ij} = \delta_{ij} \sigma_{ii} \quad (\text{notazione}) \quad 3.5$$

\Downarrow

Delti di Kronecker : $\begin{cases} 1 & i=j \\ 0 & i \neq j \end{cases}$

In questo caso Π rappresenta un campo scalare

$$(3.5) \quad \bar{\tau} = -p \bar{I} + \bar{\epsilon}$$

notazione tensorc

osservazioni valide per
flessi di $d\rho$ non elevati

$$(3.6) \quad \tau_{ij} = -p \delta_{ij} + \epsilon_{ij}$$

tensorc degli sforzi viscosi ($\Leftrightarrow \exists \vec{v} \neq 0$)

$$\begin{bmatrix} \bar{v}_{11} & \bar{v}_{12} & \bar{v}_{13} \\ \bar{v}_{21} & \bar{v}_{22} & \bar{v}_{23} \\ \bar{v}_{31} & \bar{v}_{32} & \bar{v}_{33} \end{bmatrix} = \begin{bmatrix} -p & 0 & 0 \\ 0 & -p & 0 \\ 0 & 0 & -p \end{bmatrix} + \begin{bmatrix} \epsilon_{11} & \epsilon_{12} & \epsilon_{13} \\ \epsilon_{21} & \epsilon_{22} & \epsilon_{23} \\ \epsilon_{31} & \epsilon_{32} & \epsilon_{33} \end{bmatrix}$$

↑
gradienti di
velocità

simmetria
↓

$\bar{\epsilon}$ simmetrico: $\epsilon_{ij} = \epsilon_{ji} \Rightarrow$ solo 6 componenti

$$(3.10) \quad \epsilon_{ii} = \bar{v}_{ii} + p = \bar{v}_{ii} - \frac{1}{3} \sum_{i=1}^3 \bar{v}_{ii} \quad i=1,2,3$$

$\text{tr}(\bar{\epsilon}) = 0$; infatti:

$$\sum_{i=1}^3 \bar{v}_{ii} = -p - p - p + \sum_{i=1}^3 \epsilon_{ii} = -3 \left(-\frac{1}{3} \sum_{i=1}^3 \bar{v}_{ii} \right) + \sum_{i=1}^3 \epsilon_{ii} \Leftrightarrow$$

$$\sum_{i=1}^3 \bar{v}_{ii} = \sum_{i=1}^3 \bar{v}_{ii} + \sum_{i=1}^3 \epsilon_{ii} \Leftrightarrow \sum_{i=1}^3 \epsilon_{ii} = 0 \quad (3.11)$$

per i termini non diagonali: $\epsilon_{ij} = \bar{v}_{ij} \quad i \neq j$

3.2.2) Relazione tra gli sforzi viscosi e le deformazioni

hp 1: $\bar{\epsilon}$ dipende solamente della distribuzione istantanea delle velocità

moto $\begin{cases} \text{I) traslazione rigida} \mapsto \vec{v} \\ \text{II) dilatazione volumetrica} \mapsto \text{tr}(\bar{B}) = \vec{v} \cdot \vec{v} = \sum_{i=1}^3 \frac{\partial v_i}{\partial x_i} \end{cases}$
 fluido $\begin{cases} \text{II) rotazione rigida} \mapsto \bar{B} (\sigma \vec{b} = \vec{w}) \\ \text{IV) distorsione formica} \mapsto D_{ij} \quad i \neq j \end{cases}$

$$\bar{\tau} = 2\mu \bar{D} + \left(\mu_{bulk} - \frac{2}{3}\mu\right) \nabla \cdot \vec{v} \delta_{ij} \quad (3.12.4)$$

$$\tau_{ij} = 2\mu D_{ij} + \left(\mu_{bulk} - \frac{2}{3}\mu\right) D_{kk} \delta_{ij} \quad (3.12.5)$$

Ipotesi di Stokes: (l'pressione del fluido in movimento coincide con la p TD)

$$dp \text{ trascurabili} \Rightarrow \mu_{bulk} \rightarrow 0 \Rightarrow \lambda = -\frac{2}{3}\mu \quad (3.13.2)$$

$$\bar{\tau} = 2\mu \bar{D} - \frac{2}{3}\mu \nabla \cdot \vec{v} \bar{I} \Leftrightarrow \bar{\tau} = 2\mu \left(\bar{D} - \frac{1}{3} \nabla \cdot \vec{v} \bar{I} \right) \quad (3.12.6)$$

Equazione costitutiva per i Fluidi Newtoniani - Stokhesiani

Per mostrare le validità dell'ip di Stokes: da (3.11) e da (3.12.3) con i=j:

$$\sum_{i=1}^3 \tau_{ii} = \mu \sum_{i=1}^3 \left(\frac{\partial u_i}{\partial x_i} + \frac{\partial u_i}{\partial x_i} \right) + \lambda \sum_{k=1}^3 \underbrace{\frac{\partial u_k}{\partial x_k}}_3 \sum_{i=1}^3 \delta_{ii} =$$

$$= 2\mu \sum_{i=1}^3 \frac{\partial u_i}{\partial x_i} + 3\lambda \sum_{k=1}^3 \frac{\partial u_k}{\partial x_k} \Leftrightarrow$$

$$\sum_{i=1}^3 \tau_{ii} = (2\mu + 3\lambda) \sum_k \frac{\partial u_k}{\partial x_k} = 0 \Rightarrow 2\mu + 3\lambda = 0 \Rightarrow \lambda = -\frac{2}{3}\mu \quad \blacksquare$$

$$\text{OSSIII}) \sum_{i=1}^3 \tau_{ii} \neq \nabla \cdot \bar{\tau} = \frac{\partial \tau_{11}}{\partial x} + \frac{\partial \tau_{22}}{\partial y} + \frac{\partial \tau_{33}}{\partial z}$$

2° contributo $\int_{\Omega} q d\Omega = Q$ { • q_v (sorgenti volumiche) : distribuite all'interno di Ω
 • \vec{q}_s (sorgenti superficiali) : distribuite sulle σ

$Q \rightarrow S(x, y, z)$

$$\left(\frac{\partial}{\partial t} \right) \int_{\Omega} q d\Omega = - \int_{\sigma} \vec{f}_q \cdot \vec{n} d\sigma + \int_{\Omega} q_v d\Omega + \int_{\sigma} \vec{q}_s \cdot \vec{n} d\sigma \quad (3.13)$$

Leyge di conservazione in Forma integrale per una quantità scalare

oss. \Rightarrow Válido anche se esistono discontinuità nel campo di moto per le quantità scalare.

Se i flussi e le sorgenti superficiali sono continui e differenziabili \rightarrow

$\exists \Omega$ fisso nello spazio \rightarrow commutazione integrali/derivate; \exists Teorem di Gauss \Rightarrow

$$\int_{\Omega} \left(\frac{\partial q}{\partial t} \right) d\Omega + \int_{\Omega} \nabla \cdot \vec{f}_q d\Omega = \int_{\Omega} q_v d\Omega + \int_{\Omega} \nabla \cdot \vec{q}_s d\Omega$$

invece o/a $q(x, y, z, t)$

poiché Ω è arbitrario \rightarrow

$$\frac{\partial q}{\partial t} + \nabla \cdot \vec{f}_q = q_v + \nabla \cdot \vec{q}_s \quad (3.14)$$

(oppure per $\Omega \rightarrow 0$)

Leyge di conservazione in Forma differenziale per una quantità scalare

analogamente ..

3.4) Equazioni della Meccanica dei Fluidi

- la massa non si crea e non si distrugge: natura cinetica \rightarrow forze applicate al Ω
- la variazione di quantità di moto è uguale alle forze applicate (generalizzazione legge di Newton)
- l'energia non si crea e non si distrugge (I principio TD)

3.4.1) Conservazione della massa

$\rho \rightarrow \rho$ $Q \rightarrow m$ hpt: assenza di sorgenti di massa volumiche e superficiali
 $\vec{F}_q \rightarrow \rho \vec{v}$: flusso di m per unità di volume

$$(3.17) \quad \frac{d}{dt} \int_{\Omega} \rho d\Omega = - \int_{\Omega} \rho \vec{v} \cdot \vec{n} d\Omega$$

oss) $\vec{v} \cdot \vec{n}$ positivo \Rightarrow
portata uscente di fluido

Leyge di conservazione in forma integrale della massa

$$\text{oss) } | 3.3.1 (\leftarrow \dots) \Rightarrow \int_{\Omega} \frac{\partial \rho}{\partial t} d\Omega = - \int_{\Omega} \nabla \cdot (\rho \vec{v}) d\Omega \Rightarrow$$

↑
arbitrario.

$$(3.18) \quad \frac{\partial \rho}{\partial t} + \nabla \cdot (\rho \vec{v}) = 0$$

Equazione di conservazione della massa in forma differenziale
o Equazione di continuità

sviluppando $\frac{\partial \rho}{\partial t} + \vec{v} \cdot \nabla \rho + \rho \nabla \cdot \vec{v} = 0$ con $\frac{D\rho}{Dt} = \frac{\partial \rho}{\partial t} + \vec{v} \cdot \nabla \rho$

vedi ridiamo
operatore ∇

$$\frac{D\rho}{Dt} = - \rho \nabla \cdot \vec{v}$$

(3.19)

Equazione di continuità
in forma Lagrangiana

$$\Rightarrow \rho \frac{D\vec{v}}{Dt} = -\nabla P + \vec{v} \cdot \vec{\zeta} + \rho \vec{F} \quad (3.23)$$

poiché (si dimostra) $\vec{v} \cdot \nabla \vec{v} = \nabla \left(\frac{v^2}{2} \right) - \vec{v} \times (\nabla \times \vec{v}) = \nabla \left(\frac{v^2}{2} \right) - \vec{v} \times \vec{\omega}$

dà (3.22) $\Rightarrow \frac{D\vec{v}}{Dt} + \nabla \left(\frac{v^2}{2} \right) - \vec{v} \times \vec{\omega} = -\frac{1}{\rho} \nabla P + \frac{1}{\rho} \nabla \cdot \vec{\zeta} + \vec{F} \quad (3.24)$

3.4.3) Conservazione dell'energia

energie interne + cinetica, per unità di massa

date E energia totale per unità di massa, $E = e + \frac{v^2}{2}$

$q \rightarrow \rho E$ energia totale per unità di volume

$\vec{P}_q = \rho E \vec{v}$ sorgenti superficiali: $\vec{\pi} \cdot \vec{v}$ Levore degli sfiori superficiali nell'unità di tempo; $-\vec{q}_s$ flusso termico conduttivo o superficiale di calore

sorgenti volumiche $\rho \vec{F} \cdot \vec{v}$ Levore delle forze di campo nell'unità di tempo; $+q_v$ generici sorgenti di calore volumici

$$\frac{d}{dt} \int_{\Omega} \rho E d\Omega = - \int_{\Omega} \rho E (\vec{v} \cdot \vec{n}) d\Omega + \int_{\Omega} (\vec{\pi} \cdot \vec{v}) \cdot \vec{n} d\Omega + \int_{\Omega} \rho \vec{F} \cdot \vec{v} d\Omega - \int_{\Omega_s} \vec{q}_s \cdot \vec{n} d\Omega + \int_{\Omega} \vec{q}_v d\Omega \quad (3.25)$$

Legge di conservazione in forma integrale dell'energia totale

$$3.3.1) \Rightarrow \int_{\Omega} \frac{d}{dt} \rho E d\Omega = - \int_{\Omega} \nabla \cdot (\rho E \vec{v}) d\Omega + \int_{\Omega} \nabla \cdot (\vec{\pi} \cdot \vec{v}) d\Omega + \int_{\Omega} \rho \vec{F} \cdot \vec{v} d\Omega - \int_{\Omega_s} \nabla \cdot \vec{q}_s d\Omega + \int_{\Omega} q_v d\Omega$$

a arbitrio $\Rightarrow \frac{d}{dt} (\rho E) + \nabla \cdot (\rho E \vec{v}) = \nabla \cdot (\vec{\pi} \cdot \vec{v}) + \rho \vec{F} \cdot \vec{v} - \nabla \cdot \vec{q}_s + q_v \quad (3.26)$

Equazione di bilancio dell'energia totale in forma differenziale

$$\rho \frac{\partial}{\partial t} \left(\frac{v^2}{2} \right) + \rho \vec{v} \cdot \left[\nabla \left(\frac{v^2}{2} \right) - \vec{v} \times \vec{w} \right] = -\nabla p \cdot \vec{v} + \vec{v} \cdot \nabla \bar{\epsilon} + \rho \vec{F} \cdot \vec{v}$$

$$\rho \frac{\partial}{\partial t} \left(\frac{v^2}{2} \right) + \rho \vec{v} \cdot \nabla \left(\frac{v^2}{2} \right) - \rho \vec{v} \cdot (\vec{v} \times \vec{w}) = -\nabla p \cdot \vec{v} + \vec{v} \cdot \nabla \bar{\epsilon} + \rho \vec{F} \cdot \vec{v}$$

$\perp \Rightarrow = 0$

$$\boxed{\rho \frac{\partial}{\partial t} \left(\frac{v^2}{2} \right) + \rho \vec{v} \cdot \nabla \left(\frac{v^2}{2} \right) = -\nabla p \cdot \vec{v} + \vec{v} \cdot (\nabla \bar{\epsilon}) + \rho \vec{F} \cdot \vec{v}} \quad (3.29)$$

Equazione di bilancio dell'energia meccanica (o cinetica)

e, in forma lagrangiana : (3.30) $\boxed{\rho \frac{D}{Dt} \left(\frac{v^2}{2} \right) = -\nabla p \cdot \vec{v} + \vec{v} \cdot (\nabla \bar{\epsilon}) + \rho \vec{F} \cdot \vec{v}}$

lavori per unità di tempo : Forze di pressione, sforzi viscosi, forze di campo

b) Equazione dell'energia interna

$$\text{da (3.28)} \quad \rho \frac{D\bar{E}}{Dt} = \underbrace{-\nabla \cdot (\rho \vec{v})}_{-\rho \nabla \cdot \vec{v}} + \underbrace{\nabla \cdot (\bar{\epsilon} \cdot \vec{v})}_{\vec{v} \cdot (\nabla \cdot \bar{\epsilon})} + \rho \vec{F} \cdot \vec{v} - \nabla \cdot \vec{q} + q_v$$

$$- \rho \nabla \cdot \vec{v} - \vec{v} \cdot \nabla p \quad \vec{v} \cdot (\nabla \cdot \bar{\epsilon}) + (\bar{\epsilon} \cdot \nabla) \cdot \vec{v}$$

$$\text{e (3.30)} \quad \rho \frac{D}{Dt} \left(\frac{v^2}{2} \right) = -\nabla p \cdot \vec{v} + \vec{v} \cdot (\nabla \bar{\epsilon}) + \rho \vec{F} \cdot \vec{v}$$

$$\text{poché } E = e + \frac{v^2}{2} \quad \rightarrow \quad e = E - \frac{v^2}{2} \quad \rightarrow \quad (3.28.2) - (3.30) =$$

$$\underbrace{\rho \frac{DE}{Dt} - \rho \frac{D}{Dt} \left(\frac{v^2}{2} \right)}_{0} = -\rho \nabla \cdot \vec{v} - \underbrace{\vec{v} \cdot \nabla p}_{0} + \nabla p \cdot \vec{v} + \underbrace{\vec{v} \cdot (\nabla \cdot \bar{\epsilon})}_{0} - \underbrace{\vec{v} \cdot (\nabla \cdot \bar{\epsilon})}_{0} + (\bar{\epsilon} \cdot \nabla) \cdot \vec{v} - \nabla \cdot \vec{q} + q_v$$

$$\rho \frac{De}{Dt} = -\rho \nabla \cdot \vec{v} + (\bar{\epsilon} \cdot \nabla) \cdot \vec{v} - \nabla \cdot \vec{q} + q_v \quad (3.31)$$

Equazioni di Navier-Stokes per ρ , $\rho\vec{v}$ ed E :

$$\Leftrightarrow (3.18) \quad \boxed{\frac{\partial \rho}{\partial t} + \nabla \cdot (\rho \vec{v}) = 0}$$

$$(3.23.2) \Leftrightarrow (3.35) \quad \rho \frac{\partial \vec{v}}{\partial t} + \rho \vec{v} \cdot \nabla \vec{v} = -\nabla p + \nabla \cdot \left(\underbrace{2\mu \bar{\mathbf{D}}}_{-\frac{2}{3}\mu \nabla \cdot \vec{v} \mathbf{I}} - \frac{2}{3}\mu \nabla \cdot \vec{v} \mathbf{I} \right) + \rho \vec{f}$$

$$\Leftrightarrow \boxed{\rho \frac{\partial \vec{v}}{\partial t} + \rho \vec{v} \cdot \nabla \vec{v} = -\nabla p + \nabla \cdot \left[\mu (\nabla \vec{v} + \nabla \vec{v}^T) - \frac{2}{3}\mu \nabla \cdot \vec{v} \mathbf{I} \right] + \rho \vec{f}}$$

$$(3.28.2) \Leftrightarrow (3.36)$$

$$\boxed{\rho \frac{\partial E}{\partial t} + \rho \vec{v} \cdot \nabla E = -\nabla \cdot (\rho \vec{v}) + \nabla \cdot \left[\mu (\nabla \vec{v} + \nabla \vec{v}^T) - \frac{2}{3}\mu \nabla \cdot \vec{v} \mathbf{I} \right] \cdot \vec{v} + \rho \vec{f} \cdot \vec{v} + \nabla \cdot (K \nabla T) + q_v}$$

Notazione indiciale relativa a S.R. $x_1, x_2, x_3 \rightarrow \vec{v} = (v_1, v_2, v_3)^T$.

Per generico $\forall k / i=1,2,3$ $\exists i$ indica, in questo caso, una sommatoria; si ha:

$$(3.18.2) \quad \boxed{\frac{\partial \rho}{\partial t} + \frac{\partial}{\partial x_i} (\rho u_i) = 0}$$

$$(3.35.2) \quad \boxed{\rho \left(\frac{\partial u_i}{\partial t} + u_s \frac{\partial u_i}{\partial x_s} \right) = - \frac{\partial p}{\partial x_i} + \frac{\partial}{\partial x_s} \left[\mu \left(\frac{\partial u_i}{\partial x_s} + \frac{\partial u_s}{\partial x_i} \right) - \frac{2}{3}\mu \frac{\partial u_k}{\partial x_k} \delta_{is} \right] + \rho f_i}$$

(es: $i=1 : \sum_s e \sum_k \Rightarrow$ bilancio qdm per direzione 1)

$$(3.36.2) \quad \boxed{\rho \left(\frac{\partial E}{\partial t} + u_i \frac{\partial E}{\partial x_i} \right) = - \frac{\partial}{\partial x_i} (\rho u_i) + \frac{\partial}{\partial x_s} \left[\mu \left(\frac{\partial u_i}{\partial x_s} + \frac{\partial u_s}{\partial x_i} \right) - \frac{2}{3}\mu \frac{\partial u_k}{\partial x_k} \delta_{is} \right] u_i + \rho f_i u_i + \frac{\partial}{\partial x_i} (K \frac{\partial T}{\partial x_i}) + q_v}$$

Per alti Re , gli effetti di viscosità e condutività termica sono trascurati
e soltanto regioni \rightarrow fluido inviscido modello di Euler

$$\rho \left[\frac{De}{Dt} + P \frac{D}{Dt} \left(\frac{1}{\rho} \right) \right] = \rho D - \vec{v} \cdot \vec{q} + q_v$$

$$da \quad T ds = de + P d \left(\frac{1}{\rho} \right) \xrightarrow{\substack{\text{entropia} \\ \uparrow \\ \text{specifica}}} \quad T \frac{Ds}{Dt} = \frac{De}{Dt} + P \frac{D}{Dt} \left(\frac{1}{\rho} \right)$$

Fluido in movimento

$$\Rightarrow \boxed{\rho T \frac{Ds}{Dt} = \rho D - \vec{v} \cdot \vec{q} + q_v} \quad (3.43) \quad \underline{\text{Equazione di trasporto dell'entropia}}$$

OSSI) $\rho D \geq 0 \Leftrightarrow$ tiene conto di una trasformazione irreversibile

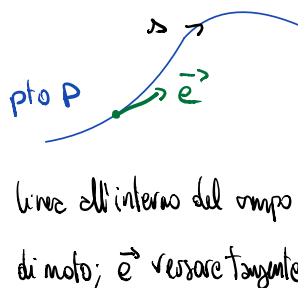
$-\vec{v} \cdot \vec{q} + q \geq 0 \Leftrightarrow$ tiene conto di una trasformazione che può essere reversibile

$$\frac{Ds}{Dt} = \frac{\partial s}{\partial t} + \vec{v} \cdot \nabla s$$

- se fluido non viscoso e non condensabile $\Rightarrow \boxed{\frac{Ds}{Dt} = 0}$: trasformazione isentropica
entropia delle p. fluidi costante al muoversi delle p. F. lungo la sua traiettoria

- entropia costante in tutto il campo $\Rightarrow \boxed{\nabla s = 0}$ trasformazione omoeneropica
entalpia $h = e + P/\rho$
 $\Rightarrow dh = de + d(P/\rho) = de + P d \left(\frac{1}{\rho} \right) + \frac{1}{\rho} dp \xrightarrow{\substack{\uparrow \\ Tds = de + P d \left(\frac{1}{\rho} \right)}} Tds + \frac{1}{\rho} dp$

per passare ai gradienti attraverso le derivate direzionali:



$$\frac{dh}{ds} = \nabla h \cdot \vec{e} \Rightarrow dh = (\nabla h \cdot \vec{e}) ds$$

$$\frac{dp}{ds} = \nabla p \cdot \vec{e} \Rightarrow dp = (\nabla p \cdot \vec{e}) ds$$

$$\frac{ds}{ds} = \nabla s \cdot \vec{e} \Rightarrow ds = (\nabla s \cdot \vec{e}) ds$$

dal Libro : Corrente potenziale di un fluido incompressibile

4.1) Conservazione della pressione totale in flusso stazionario e incompressibile

hpz: Flusso stazionario ($\frac{\partial}{\partial t} = 0$), incompressibile ($\frac{\partial \rho}{\partial z} = 0$), inviscido ($\zeta = 0$)

$$\text{de cons. qdm (3.23.2): } \frac{\partial \vec{v}}{\partial t} + \vec{v} \cdot \nabla \vec{v} = -\frac{1}{\rho} \nabla p + \frac{1}{\rho} \nabla \cdot \vec{\zeta} + \vec{F}$$

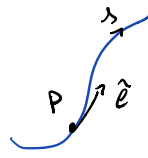
$$\text{con hpt.3: } \zeta_{ij} = 0 \quad \forall i,j \text{ e hpt: } \vec{F} = 0 \quad (\text{ricordando } \nabla \cdot \nabla \vec{v} = \nabla \left(\frac{v^2}{2} \right) - \vec{v} \times \vec{\omega})$$

\Rightarrow

$$\nabla \left(\frac{v^2}{2} \right) - \vec{v} \times \vec{\omega} = -\frac{1}{\rho} \nabla p \quad (4.1)$$

rispetto a versore

tangente a linea di corrente



$$\nabla \left(\frac{v^2}{2} \right) \cdot \hat{e} - (\vec{v} \times \vec{\omega}) \cdot \hat{e} = -\frac{1}{\rho} \nabla p \cdot \hat{e} \Rightarrow$$

$$\nabla \left(\frac{v^2}{2} \right) \cdot \hat{e} = -\frac{1}{\rho} \nabla p \cdot \hat{e} \quad (4.2)$$

passaggio dei gradienti ai

differenziali tramite le

derivate direzionali

\hookrightarrow

$$\frac{\partial}{\partial s} \left(\frac{v^2}{2} \right) + \frac{1}{\rho} \frac{\partial p}{\partial s} = 0 \quad (4.3)$$

sfruttando hpt.2: $\rho = \text{cost.} \Rightarrow$

$$\frac{\partial}{\partial s} \left(p + \frac{1}{2} \rho v^2 \right) = 0 \quad (4.4)$$

Lungo una linea di corrente,

\Downarrow

in generale, $p + \frac{1}{2} \rho v^2$

cambia da l_{dc} a l_{dc}

$$p + \underbrace{\frac{1}{2} \rho v^2}_{\text{pressione statica}} = p^0 \quad \bar{e} \text{ costante}$$

$\underbrace{\frac{1}{2} \rho v^2}_{\text{pressione dinamica}}$

pressione totale o d'arresto

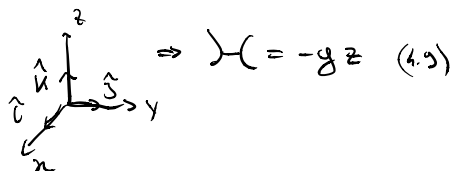
$$\begin{cases} \vec{v} = \nabla \Phi \\ \frac{\partial \vec{v}}{\partial t} + \nabla \left(\frac{v^2}{2} \right) = -\frac{1}{\rho} \nabla p + \vec{g} \end{cases} \Rightarrow \frac{\partial}{\partial t} (\nabla \Phi) + \nabla \left(\frac{v^2}{2} \right) = -\frac{1}{\rho} \nabla p + \vec{g} \quad (4.8)$$

↓ Linearità

$$\nabla \left(\frac{\partial \Phi}{\partial t} \right) + \nabla \left(\frac{v^2}{2} \right) = -\frac{1}{\rho} \nabla p + \vec{g} \rightarrow$$

$$\rightarrow \nabla \left(\frac{\partial \Phi}{\partial t} + \frac{v^2}{2} \right) + \frac{1}{\rho} \nabla p - \vec{g} = 0 \quad \text{con } \nabla \cdot \vec{g} = 0 \Rightarrow \exists \psi : \nabla \psi = \vec{g}$$

↑ funzione potenziale di \vec{g}



con p cost \Rightarrow può entrare sotto il segno di gradiente

Teorema di Bernoulli per $\frac{\partial}{\partial t} \neq 0, \frac{\partial p}{\partial t} = 0, \vec{w} = 0$

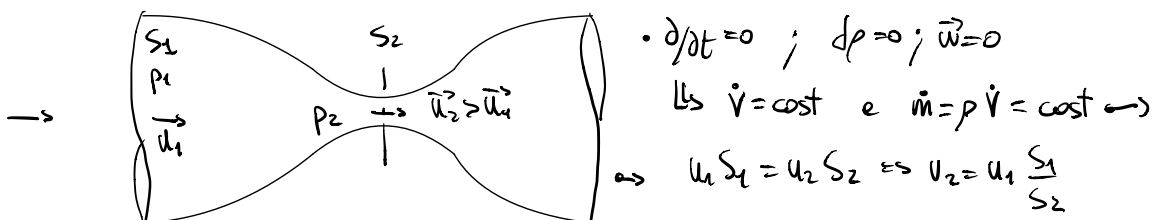
$$(4.10) \quad \nabla \left(\frac{\partial \Phi}{\partial t} + \frac{v^2}{2} + \frac{1}{\rho} p + gz \right) = 0 \Leftrightarrow (4.11) \quad \rho \frac{\partial \Phi}{\partial t} + p + \frac{1}{2} \rho v^2 + \rho g z = F(t)$$

oss. III) Costanza nello spazio ma non nel tempo finché non si fa l'ipotesi di stazionarietà

Teorema di Bernoulli per $\frac{\partial}{\partial t} = 0, \frac{\partial p}{\partial t} = 0, \vec{w} = 0$

$$\Leftrightarrow \frac{\partial}{\partial t} = 0 \quad \boxed{p + \frac{1}{2} \rho v^2 + \rho g z = \text{cost.}} \quad (4.12) \quad \Leftrightarrow \rho^0 + g z = \text{cost.} \quad (4.13)$$

es: tubo di Venturi



$$\text{irrotationalità} \Rightarrow (4.12) \quad p_1 + \frac{1}{2} \rho_1 u_1^2 = p_2 + \frac{1}{2} \rho_2 u_2^2 = \text{cost} \quad \underbrace{p_1 \Rightarrow u_1^1, p_2 \Rightarrow u_2^1}_{\text{Bernoulli II}}$$

L₂(3.48) si può risarivare:

sfruttando: $-\nabla\left(\frac{1}{\rho}\right) \times \nabla p = \frac{1}{\rho^2} \nabla p \times \nabla p$; se il flusso è barotropico
 (ovvero $\rho = f(p) \Leftrightarrow \rho$ dipende solo dalla pressione $\Rightarrow \nabla p \parallel \nabla\rho$),
 oppure se il flusso è incompressibile: $\rho = \text{cost} \Rightarrow \nabla p = 0$

$$\Rightarrow \boxed{\frac{D\vec{w}}{Dt} = -\vec{w}(\nabla \cdot \vec{v}) + \vec{w} \cdot \nabla \vec{v} + \nabla \times \left(\frac{1}{\rho} \nabla \cdot \vec{v} \right) + \nabla \times \vec{f}} \quad (3.49)$$

Considerando la vorticità specifica: $\frac{\vec{w}}{\rho} \rightarrow \rho \frac{D}{Dt} \left(\frac{\vec{w}}{\rho} \right) = \rho \left[\frac{1}{\rho} \frac{D\vec{w}}{Dt} + \vec{w} \frac{D}{Dt} \left(\frac{1}{\rho} \right) \right]$

con $\frac{D}{Dt} \left(\frac{1}{\rho} \right) = -\frac{1}{\rho^2} \frac{Dp}{Dt} \stackrel{(3.18)}{=} + \frac{1}{\rho^2} \rho \nabla \cdot \vec{v} \Rightarrow \frac{D}{Dt} \left(\frac{1}{\rho} \right) = \frac{1}{\rho} \nabla \cdot \vec{v}$

$$\Rightarrow \rho \frac{D}{Dt} \left(\frac{\vec{w}}{\rho} \right) = \rho \left[\frac{1}{\rho} \frac{D\vec{w}}{Dt} + \vec{w} \nabla \cdot \vec{v} \right] = \frac{D\vec{w}}{Dt} + \vec{w} \nabla \cdot \vec{v} \quad (3.50)$$

costituendo

in (3.48) $\boxed{\rho \frac{D}{Dt} \left(\frac{\vec{w}}{\rho} \right) = \vec{w} \cdot \nabla \vec{v} + \frac{1}{\rho^2} \nabla p \times \nabla p + \nabla \times \left(\frac{1}{\rho} \nabla \cdot \vec{v} \right) + \nabla \times \vec{f}} \quad (3.51)$

La (3.51) regole l'evoluzione della \vec{w} , ovvero il moto con cui viene trasportato la \vec{w} due attiene a una p.f. durante il moto lungo le sue traiettorie
della p.f.

$\frac{1}{\rho^2} \nabla p \times \nabla p$: termine sorgente legato alla produzione di vorticità quando $\nabla p \neq 0$ e i gradienti di p e di ρ non risultano paralleli (flusso non barotropico)
 ruolo fondamentale in fluidodinamica ambientale

$\nabla \times \vec{f}$: termine sorgente legato alla produzione di vorticità per effetto di un campo di forze, quando tale campo non è irrotazionale

$$\Rightarrow \frac{D}{Dt} \left(e + \frac{v^2}{2} + \frac{P}{\rho} \right) = \frac{\partial}{\partial t} \frac{\partial P}{\partial t} \quad (4.14)$$

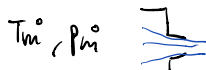
$$h = e + \frac{P}{\rho} \Rightarrow (4.15) \frac{D}{Dt} \left(h + \frac{v^2}{2} \right) = \frac{1}{\rho} \frac{\partial P}{\partial t} = \frac{\partial}{\partial t} \left(h + \frac{v^2}{2} \right) + \vec{v} \cdot \nabla \left(h + \frac{v^2}{2} \right) = \frac{1}{\rho} \frac{\partial P}{\partial t} \quad (4.16) \quad h + \frac{v^2}{2} = H$$

se $\frac{\partial}{\partial t} = 0$: stazionarietà: $\underbrace{\vec{v} \cdot \nabla \left(h + \frac{v^2}{2} \right)}_{\text{se } v \neq 0} = \vec{v} \cdot \nabla \left(h + \frac{v^2}{2} \right) \hat{e} = \vec{v} \cdot \frac{\partial}{\partial s} \left(h + \frac{v^2}{2} \right)$

$$(4.17) \quad \vec{v} \cdot \nabla \left(h + \frac{v^2}{2} \right) = 0 \quad \text{con} \quad \vec{v} = v \hat{e} \Rightarrow \frac{d}{ds} \left(h + \frac{v^2}{2} \right) = \nabla \left(h + \frac{v^2}{2} \right) \cdot \hat{e}$$

$$\frac{d}{ds} \left(h + \frac{v^2}{2} \right) = 0 \quad (4.17) \Rightarrow H \text{ entalpia totale o d'arresto costante su una linea di corrente}$$

se tutte le linee di corrente sono caratterizzate da p°, T° ben definite (ad esempio,



quando provengono da condizioni di serbatoio)



oppure, provengono da una zona di flusso uniforme con condizioni totali costanti (come per il profilo oltre).

H è costante in tutto il campo

$$H = h + \frac{v^2}{2} \quad H = c_p T^\circ \quad h = c_p T$$

$$\Rightarrow c_p T^\circ = c_p T + \frac{v^2}{2} \Rightarrow T^\circ = T + \frac{v^2}{2c_p} \rightarrow T^\circ = T + \frac{v^2 c_p^2}{c_p^2 2} = T + \frac{c_p^2}{2} \Pi^2$$

$$\Rightarrow T^\circ = T + \frac{\gamma R T}{c_p} \frac{\Pi^2}{2} = T \left(1 + \frac{\gamma R}{c_p} \frac{\gamma-1}{2} \Pi^2 \right) \Rightarrow T^\circ = T \left(1 + \frac{\gamma-1}{2} \Pi^2 \right) \quad (4.18)$$

se $ds=0$

$$\hookrightarrow \frac{T^\circ}{T} = \left(\frac{P^\circ}{P} \right)^{\frac{\gamma-1}{\gamma}} \Rightarrow \frac{P^\circ}{P} = \left(\frac{T^\circ}{T} \right)^{\frac{\gamma}{\gamma-1}} \Rightarrow P^\circ = P \left(1 + \frac{\gamma-1}{2} \Pi^2 \right)^{\frac{\gamma}{\gamma-1}} \quad (4.19)$$

$$\hookrightarrow \frac{T^\circ}{T} = \left(\frac{P^\circ}{P} \right)^{\frac{1}{\gamma-1}} \Rightarrow \frac{P^\circ}{P} = \left(\frac{T^\circ}{T} \right)^{\frac{1}{\gamma-1}} \Rightarrow P^\circ = P \left(1 + \frac{\gamma-1}{2} \Pi^2 \right)^{\frac{1}{\gamma-1}} \quad (4.20)$$

$$\Rightarrow \frac{D}{Dt} (\vec{\omega} \cdot \vec{n} d\sigma) = \left[\frac{D\vec{\omega}}{Dt} - \vec{v} \cdot \nabla \vec{\omega} - \nabla \times (\vec{v} \times \vec{\omega}) \right] \cdot \vec{n} d\sigma$$

$$\text{con } -\nabla \times (\vec{v} \times \vec{\omega}) = -(\underbrace{\nabla \cdot \vec{\omega}}_{=0}) \vec{v} + \vec{v} \cdot \nabla \vec{\omega} - \vec{\omega} \cdot \nabla \vec{v} + \vec{\omega} (\nabla \cdot \vec{v})$$

incompressibilità $\Rightarrow \underbrace{\nabla \cdot \vec{v}}_{=0}$

$$\Rightarrow \frac{D}{Dt} (\vec{\omega} \cdot \vec{n} d\sigma) = \left[\underbrace{\frac{D\vec{\omega}}{Dt} - \vec{v} \cdot \nabla \vec{\omega} + \vec{v} \cdot \nabla \vec{\omega}}_{(4.24) = 0} - \vec{\omega} \cdot \nabla \vec{v} \right] \cdot \vec{n} d\sigma \quad \blacksquare$$

$$(4.23) \quad \frac{D}{Dt} (\vec{\omega} \cdot \vec{n} d\sigma) = 0$$

Teorema di Helmholtz

Demande lecite: se flusso non viscoso (h_p_1), senza forze di campo (h_p_3), ma compressibile (h_p_2)

$\exists h_p_4$: flusso barotropico (barotropicità e incompressibilità annullano lo stesso termine della (4.24))



$$\frac{D\Gamma}{Dt} = \lim_{\Delta t \rightarrow 0} \frac{\Gamma_1 - \Gamma}{\Delta t} \quad \text{con} \quad \Gamma_1 = \oint_{l_1} \vec{v} \cdot d\vec{s} \quad \text{e} \quad \Gamma = \oint_l \vec{v} \cdot d\vec{s} \quad \Rightarrow$$

$$\frac{D\Gamma}{Dt} = \lim_{\Delta t \rightarrow 0} \frac{1}{\Delta t} \left[\oint_{l_1} \vec{v} \cdot d\vec{s} - \oint_l \vec{v} \cdot d\vec{s} \right] \stackrel{\text{della } \Delta}{=} \frac{D}{Dt} \left(\oint_l \vec{v} \cdot d\vec{s} \right)$$

l costituita sempre delle stesse particelle fluidi \Rightarrow commutabilità \oint e D/Dt .

$$\Rightarrow \frac{D}{Dt} \oint_l \vec{v} \cdot d\vec{s} = \oint_l \frac{D}{Dt} (\vec{v} \cdot d\vec{s}) = \oint_l \vec{v} \cdot \frac{D}{Dt} d\vec{s} + \oint_l \frac{D\vec{v}}{Dt} \cdot d\vec{s} = \frac{D\Gamma}{Dt}$$

$$\frac{D}{Dt} d\vec{s} = \lim_{\Delta t \rightarrow 0} \frac{d\vec{s}_1 - d\vec{s}}{\Delta t} = \lim_{\Delta t \rightarrow 0} \frac{d\vec{v} \Delta t}{\Delta t} = \lim_{\Delta t \rightarrow 0} d\vec{v} = d\vec{v}$$

$$B_1 - A_1 - (B - A) = \vec{AB}_1 \quad \vec{AA}_1 + \vec{d\vec{s}}_1 = \vec{AB} + \vec{BB}_1 \Leftarrow \textcircled{3}$$

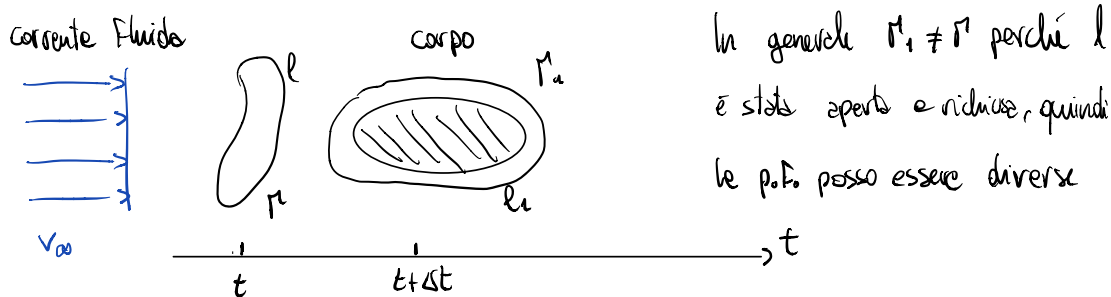
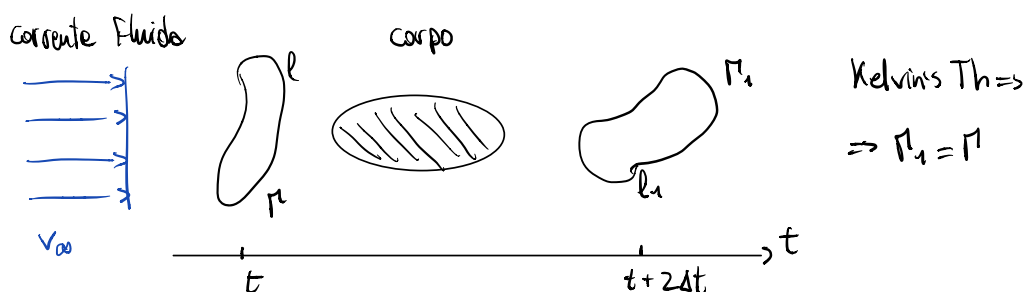
Le circuiazioni che attiene a una linea materiale nel caso di fluido incomprensibile (a) o barotropico (b) (e in assenza di \vec{F}) rimane costante.

oss) C.P.: Considerando aree infinitesime $d\sigma$ racchiusa da Γ .

$$\Rightarrow dM = \vec{\omega} \cdot \vec{n} d\sigma \Rightarrow \frac{D}{Dt}(dM) = \underbrace{\frac{D}{Dt}(\vec{\omega} \cdot \vec{n} d\sigma)}_0 = 0$$

Teorema di Helmholtz (4.25)

es:



(\hookrightarrow applicazione a profiloolare: la L (portanza) è legata proprio a $\frac{D\Gamma}{Dt}$)
ben avviato aerodinamicamente anche con $\alpha=0$

Legenda

\Rightarrow implica (che) / causa

\rightarrow passaggio / trasformazione

\mapsto dipende da

\rightsquigarrow tramite / per mezzo di.

\rightsquigarrow ingresso/ uscita

\cancel{X} per unità di X

K costante

Δ Variazione

STD Sistema Termodinamico

! solo/ soltanto

\triangleq definizione

\blacksquare tutto fatto!

gas ideale : c_p e $c_v \neq T$

(in aerodinamica, invece, ideale vuol dire non viscoso)

$\cancel{\rightarrow}$ impedisce/ blocca

\Leftarrow legato a

$$\left\{ \begin{array}{l} p + \frac{1}{2} \rho v^2 = p_\infty + \frac{1}{2} \rho v_\infty^2 \\ C_p = \frac{p - p_\infty}{\frac{1}{2} \rho v_\infty^2} \end{array} \right. \Rightarrow \left\{ \begin{array}{l} p - p_\infty = \frac{1}{2} \rho (v_\infty^2 - v^2) \\ C_p = \frac{\frac{1}{2} \rho (v_\infty^2 - v^2)}{\frac{1}{2} \rho v_\infty^2} = 1 - \frac{v^2}{v_\infty^2} = C_p \end{array} \right. \begin{array}{l} \text{Bernoulli.2} \\ \downarrow \\ (5.5) \end{array}$$

$\exists h_4$: irrotationalità

$$\nabla \times \vec{v} = \vec{\omega} = 0 \quad (5.3)$$

$$\text{da (3.18.2)} \quad \nabla \cdot \vec{v} = 0$$

$$\text{da (3.37.5)} \quad p + \frac{1}{2} \rho v^2 = \text{costante} \quad (\text{su tutte le linee di corrente})$$

poiché il dominio è semplicemente connesso,

$$\nabla \cdot \vec{v} = 0 \Rightarrow \exists \Phi : \vec{v} = \nabla \Phi \quad : \quad \nabla \cdot \vec{v} = \nabla \cdot (\nabla \Phi) = \nabla^2 \Phi = 0 \quad (5.4)$$

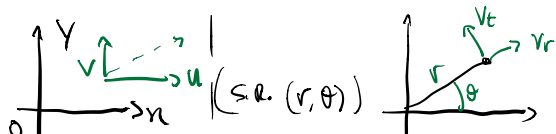
OSS II) (5.4) valida anche su hp3. Inoltre è lineare (\Leftarrow ossI AD 2.24); vale il PSE \Rightarrow scomposizione in casi semplificati del campo di velocità e somma dei risultati

$$\Phi = \sum_{i=1}^N \Phi_i \quad \Rightarrow \quad \vec{v} = \sum_{i=1}^N \vec{v}_i = \sum_{i=1}^N \nabla \Phi_i$$

OSS III) $p \text{ e } v^2$ non lineare $\Rightarrow p \neq \sum_{i=1}^N p_i$ (\rightarrow ... Sarà possibile nella Teoria delle piccole perturbazioni)

$$\begin{array}{ll} \text{hp1} \oplus \text{hp2} & \left\{ \begin{array}{l} \nabla \cdot \vec{v} = 0 \\ \nabla \times \vec{v} = 0 \end{array} \right. \longrightarrow \left\{ \begin{array}{l} \nabla^2 \Phi = 0 \\ C_p = 1 - \left(\frac{v}{v_\infty} \right)^2 \end{array} \right. \\ \text{hp3} \oplus \text{hp4} & \left. \begin{array}{l} p + \frac{1}{2} \rho v^2 = \text{cost} \end{array} \right. \end{array}$$

$\exists h_5$ bidimensionalità (S.R. $x-y$)



$$(3.18.2) \Rightarrow \frac{\partial u}{\partial x} + \frac{\partial v}{\partial y} = 0 \quad (5.6)$$

$$(3.37.5) \Rightarrow p + \frac{1}{2} \rho (u^2 + v^2) = \text{cost.} \quad (5.7)$$

$$(5.3) \Rightarrow \frac{\partial u}{\partial x} - \frac{\partial v}{\partial y} = 0 \quad (5.8)$$

$$\vec{v} = \nabla \Phi = \begin{cases} u = \frac{\partial \Phi}{\partial x} \\ v = \frac{\partial \Phi}{\partial y} \end{cases} \quad \begin{cases} v_r = \frac{\partial \Phi}{\partial r} \\ v_t = \frac{1}{r} \frac{\partial \Phi}{\partial \theta} \end{cases} \quad (5.10, 11)$$

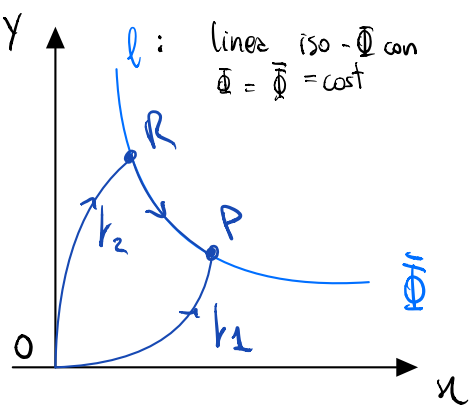
Dimostrazione:

la circolazione di un campo conservativo è nulla.

$$\oint_{S-L} (\vec{v} \cdot \hat{t}) d\sigma = \int_{\sigma} (\vec{v} \times \vec{w}) \cdot \vec{n} d\Gamma = 0$$

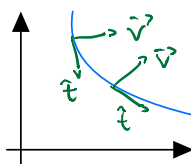
Stokes' Th. $\vec{w} = 0 \Leftrightarrow$ irrotazione (hp 3)

inoltre:

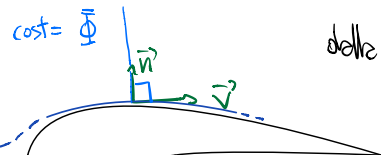


$$\begin{cases} \bar{\Phi}_P = \bar{\Phi} = \int_{0, h_1}^P (\vec{v} \cdot \hat{t}) d\sigma \\ \bar{\Phi}_P = \bar{\Phi} = \int_{0, h_1}^R (\vec{v} \cdot \hat{t}) d\sigma + \int_R^P (\vec{v} \cdot \hat{t}) d\sigma \end{cases} \Rightarrow$$

$$\int_R^P (\vec{v} \cdot \hat{t}) d\sigma = 0 \Leftrightarrow \vec{v} \cdot \hat{t} = 0 \quad (5.13)$$



$$\vec{v} \perp \hat{t} \text{ lungo linea iso-}\bar{\Phi}$$



delle condizioni di tangenza:

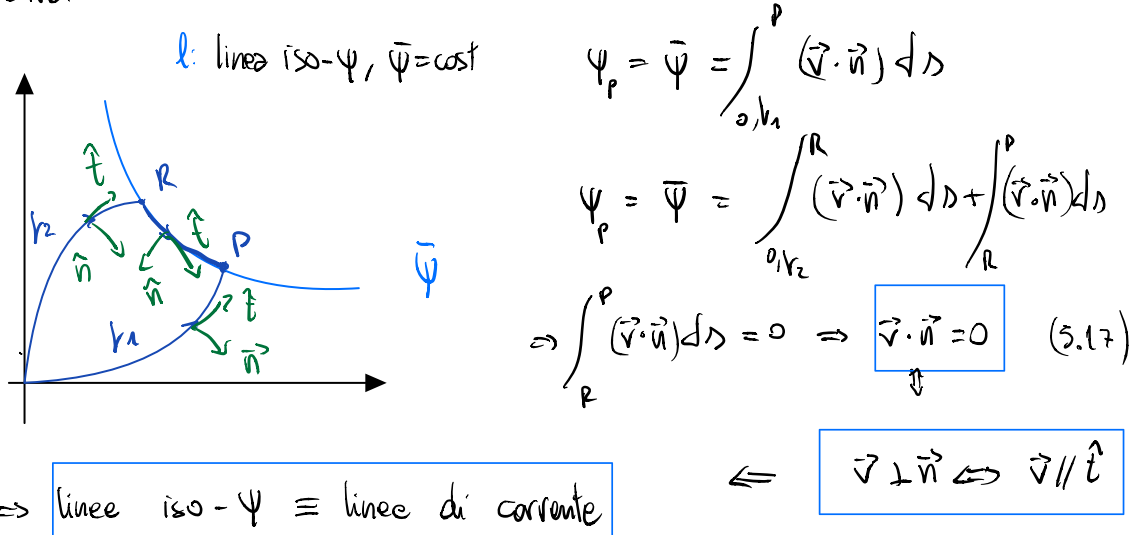
$$\vec{v} \cdot \vec{n} = 0 \Leftrightarrow \nabla \bar{\Phi} \cdot \vec{n} = 0$$

$$\Rightarrow \frac{d\bar{\Phi}}{dh} = 0 \quad (5.14)$$

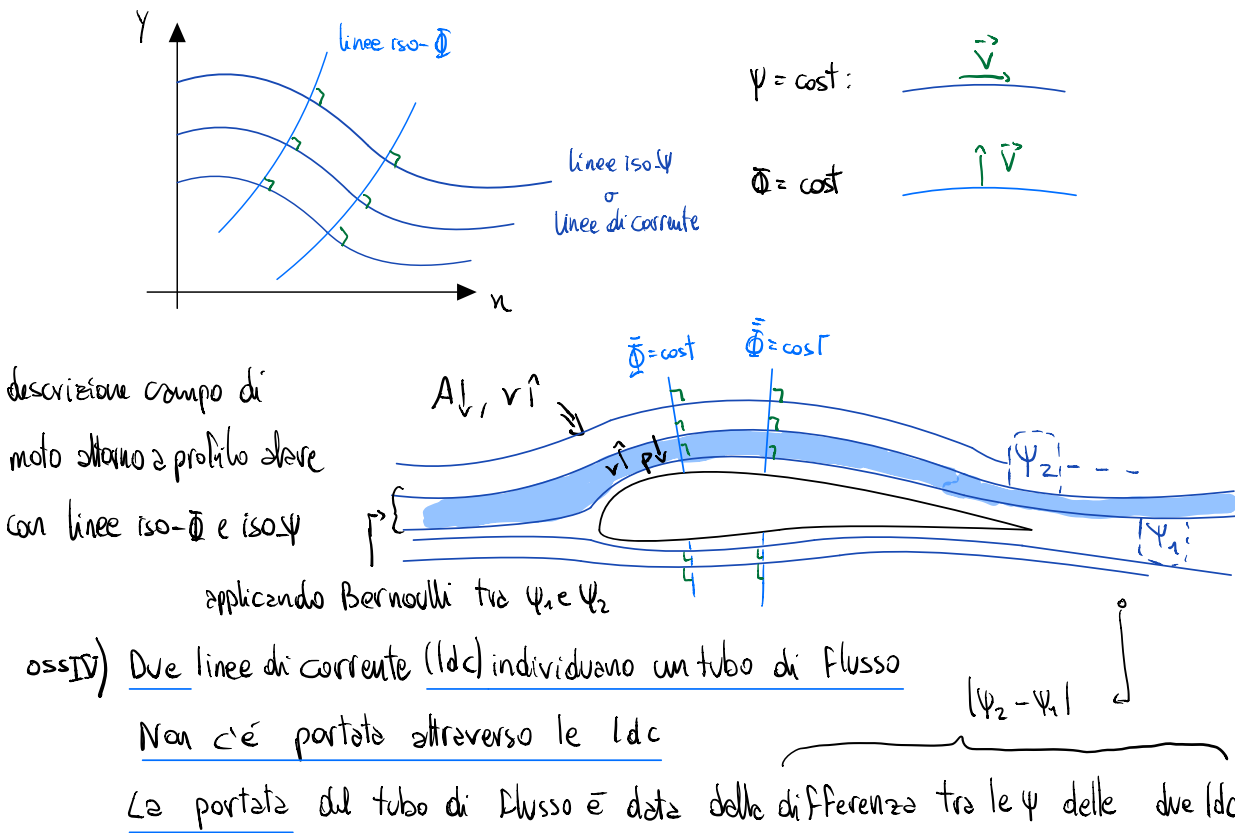
es: su profiloolare

$$\begin{aligned} & \text{2D: hp1} \quad \left\{ \begin{array}{l} (5.5) \quad \frac{\partial u}{\partial x} + \frac{\partial v}{\partial y} = \frac{\partial^2 \bar{\Phi}}{\partial x^2} + \frac{\partial^2 \bar{\Phi}}{\partial y^2} = 0 \\ \text{con } v^2 = u^2 + v^2 = \end{array} \right. \\ & \text{hp2 + hp3} \quad \left\{ \begin{array}{l} (3.37.5) \quad p + \frac{1}{2} \rho v^2 = \text{cost} = p_\infty + \frac{1}{2} \rho v_\infty^2 \\ \text{se noto } p_\infty, v_\infty \end{array} \right. \quad = \left(\frac{\partial \bar{\Phi}}{\partial x} \right)^2 + \left(\frac{\partial \bar{\Phi}}{\partial y} \right)^2 \\ & \quad \left. \begin{array}{l} (5.8) \quad \frac{\partial u}{\partial y} - \frac{\partial v}{\partial x} = \frac{\partial^2 \bar{\Phi}}{\partial x \partial y} - \frac{\partial^2 \bar{\Phi}}{\partial y \partial x} = 0 \end{array} \right. \end{aligned}$$

inoltre:



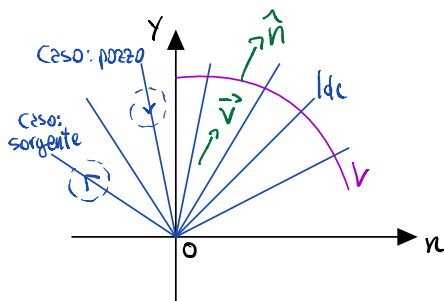
(5.13)+(5.17) \Rightarrow le linee iso- Φ intersecano perpendicolarmente le linee di corrente



$$\begin{array}{l} d\psi = -v_r dr \\ \text{AC} \quad \downarrow \\ (5.27.1) \quad v_t = -\frac{\partial \psi}{\partial r} \end{array} \quad \begin{array}{l} d\psi = +v_r r d\theta \\ \text{CB} \quad \downarrow \\ (5.27.2) \quad v_r = \frac{1}{r} \frac{\partial \psi}{\partial \theta} \end{array} \Rightarrow \boxed{d\psi = \frac{\partial \psi}{\partial r} dr + \frac{\partial \psi}{\partial \theta} d\theta} \quad (5.23)$$

b) Perturbazioni attraverso singolarità

b) Sorgente / Pozzo di portata Q . introduzione/ prelievo di portata



Punto (O) di singolarità: entra e esce portata
in direzione radiale

$$\vec{v} = \begin{cases} v_r = v \\ v_t = 0 \end{cases} \Rightarrow Q = \oint \vec{v} \cdot \vec{n} ds = v_r \cdot 2\pi r \quad (5.25)$$

portata per
unità di profondità
(caso 2D)

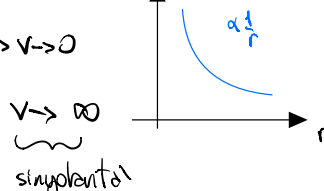
se noto Q

$$\begin{cases} > 0 \Leftarrow \text{sorgente} \\ < 0 \Leftarrow \text{pozzo} \end{cases}$$

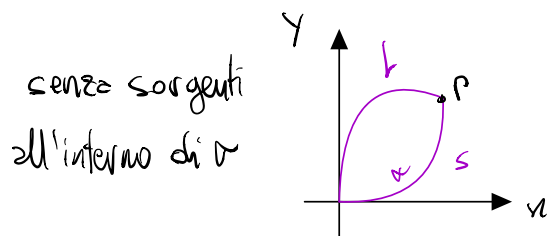
$$v = \frac{Q}{2\pi r}$$

$$(5.26): r \rightarrow \infty \Rightarrow v \rightarrow 0$$

$$r \rightarrow 0 \Rightarrow v \rightarrow \infty$$

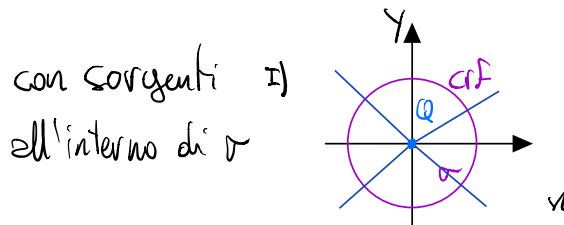


Sfruttando le proprietà di $\psi = Q$ si ha

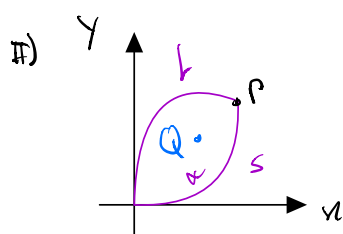


$$Q = \int_{S-r} \vec{v} \cdot \vec{n} ds = \int_{\Gamma} \vec{\nabla} \cdot \vec{v} dr$$

hp: incompressibilità \Rightarrow

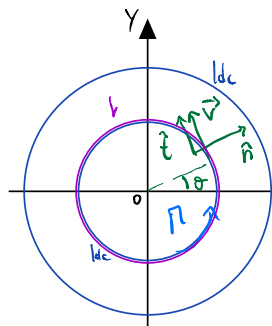


$$Q = \int_{CFS} \vec{v} \cdot \vec{n} d\lambda = \int_{\Gamma} \vec{v} \cdot \vec{r} dr$$



$$Q = \int_{S-r} \vec{v} \cdot \vec{n} ds = \int_{\Gamma} \vec{\nabla} \cdot \vec{v} dr$$

b2) Vortice irrotazionale di intensità Γ



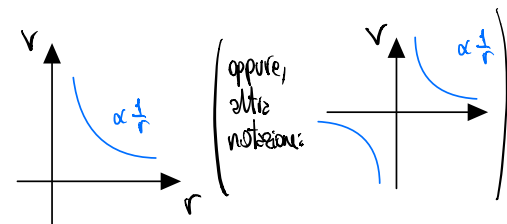
$$\text{da (5.21)} \quad \Gamma = \int_{\partial F \equiv ldc} \vec{v} \cdot \vec{t} d\lambda \quad \begin{cases} > 0 & \text{antiorario} \\ < 0 & \text{o orario} \end{cases}$$

$$\vec{v} = \begin{cases} v_r = 0 \\ v_t = v \end{cases} \rightarrow \Gamma = \int_{\partial F \equiv ldc} v_t r d\theta = v_t 2\pi r$$

$$\text{se noto } \Gamma \Rightarrow v = \frac{\Gamma}{2\pi r} \quad (5.30)$$

$$r \rightarrow \infty \Rightarrow v \rightarrow 0$$

$$r \rightarrow 0 \Rightarrow v \rightarrow \infty$$



Sfruttando le proprietà di Γ , si ha:

con sorgenti
all'interno di r

$$\int_{\partial F} \vec{v} \cdot \vec{t} d\lambda = \Gamma$$

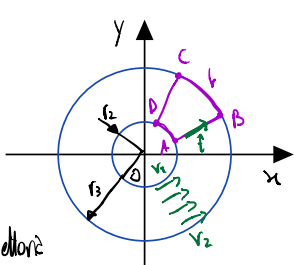
senza sorgenti
all'interno di r

$$\int_{\partial F} \vec{v} \cdot \vec{t} d\lambda = -\Gamma_1 + \Gamma_2$$

hp: irrotationalità $\Rightarrow 0$

anche se le p.f.
hanno moto
circolare \Rightarrow

\vec{v} tangente r (radiale)



$$\Gamma = \int_{\partial F} \vec{v} \cdot \vec{t} d\lambda = \int_{AB} v_r t d\lambda + \int_B^C v_t r d\theta + \int_C^A v_r r d\theta$$

no Γ concatenabile $\Rightarrow 0$

$$\therefore 0 = v_2 r_2 - v_1 r_1 \Rightarrow$$

$$v = \frac{k}{r} \quad (5.31)$$

ess v.p.f. non ruotano su sé stesse



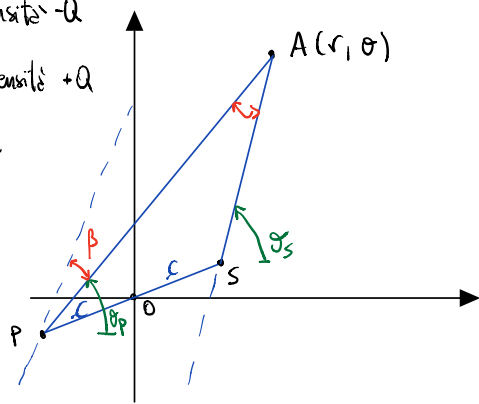
c) Doppietto

composizione di sorgente e pozzo, con distanza fra essi che tende a zero.

P: pozzo di intensità $-Q$

S: sorgente di intensità $+Q$

Caso I) $\zeta \neq 0$



$$\Psi_A = \Psi_{A|_S} + \Psi_{A|_P}$$

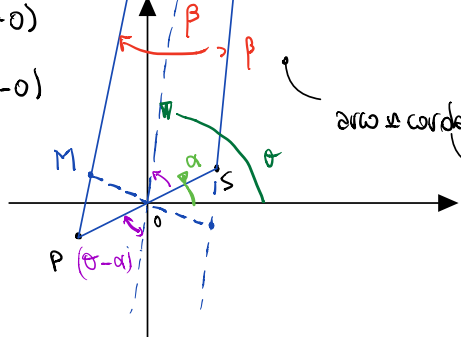
$$\Psi_{A|_S} = \frac{Q}{2\pi} \theta_s \quad \Psi_{A|_P} = -\frac{Q}{2\pi} \theta_p$$

$$\Psi_A = \frac{Q}{2\pi} (\theta_s - \theta_p) = \frac{Q}{2\pi} \underbrace{\beta}_{\zeta}$$

Caso II) $\zeta \rightarrow 0$ (rappresentazione zoomata)

$$\overline{on} = d(\overline{AP} \cdot 0)$$

$$\overline{oc} = d(\overline{AS} \cdot 0)$$



$$\overline{on} = \zeta \sin(\theta - \alpha)$$

$$\overline{in} = 2\zeta \sin(\theta - \alpha)$$

$$\sqrt{\beta} \stackrel{u}{=} 2\zeta \sin(\theta - \alpha) \Leftrightarrow \beta = \frac{4\zeta}{r} \sin(\theta - \alpha)$$

$$\Rightarrow \Psi_A = \frac{Q}{2\pi} \frac{2\zeta \sin(\theta - \alpha)}{r}$$

generalmente: $\Psi = \lim_{\substack{\zeta \rightarrow 0 \\ Q \rightarrow \infty}} \frac{2Q\zeta}{2\pi r} \sin(\theta - \alpha)$ con $\Delta \mu = 2Q\zeta$ (5.34)

Fluenza delle doppiette

(intensità delle singolarità)

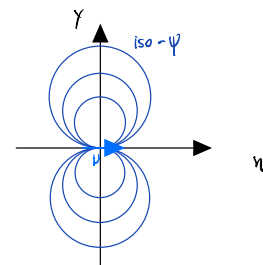
$$(5.35) \quad \Psi = \frac{\mu}{2\pi r} \sin(\theta - \alpha)$$

Analogamente

$$(5.36) \quad \Phi = -\frac{\mu}{2\pi r} \cos(\theta - \alpha)$$

la 1dc circonferenziale (di ψ) è tale che:

$\psi \rightarrow 0 \Rightarrow r \rightarrow \infty$
ovvero degenera in una retta



$$(5.36) \Rightarrow \Phi = -\frac{\mu}{2\pi r} \cos \theta = -\frac{\mu}{2\pi r} \frac{x}{r} = -\frac{\mu}{2\pi} \frac{x}{x^2+y^2}$$

$$\Rightarrow y=0 \Rightarrow \Phi=0 \Rightarrow \text{asse } y \equiv \text{linee iso-}\Phi \Rightarrow \Phi=0$$

Inoltre $x^2+y^2 = \frac{-\mu}{2\pi\Phi} y \Rightarrow x^2+y^2 + \frac{\mu}{2\pi\Phi} y = 0$ eq. di circonference

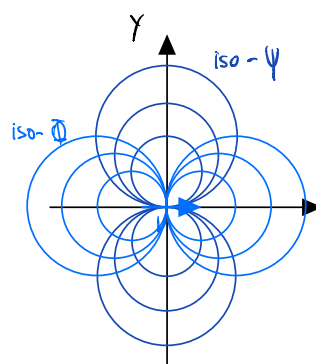
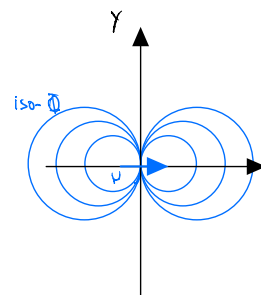
- Centro cirf $\left(-\frac{\mu}{4\pi\Phi}, 0\right)$

- $C^2 = x_c^2 + y_c^2 - r^2 \Leftrightarrow C^2 = 0 = \left(\frac{\mu}{4\pi\Phi}\right)^2 + 0 - r^2 \Rightarrow r = \frac{\mu}{4\pi\Phi}$ (5.38)

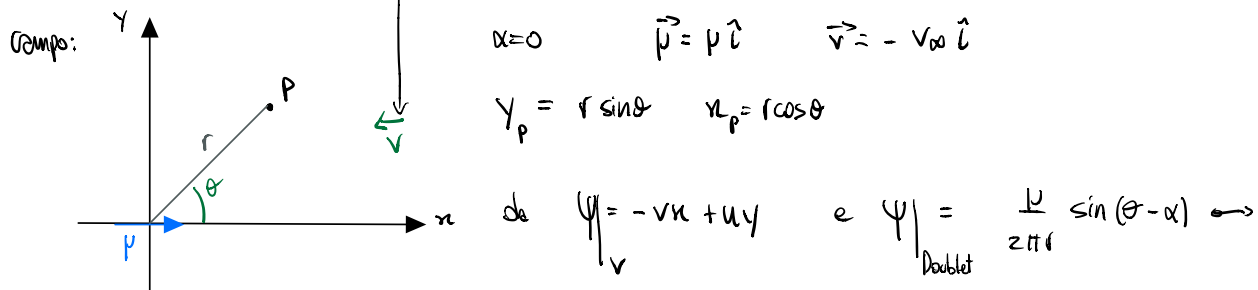
la linea iso- Φ circonferenziale è tale che

$$\Phi \rightarrow 0 \Rightarrow r \rightarrow \infty$$

ovvero degenera in una retta



d) Doppietto con corrente uniforme (\vec{p} : eliminato con $y=0$)



$$\Psi = \frac{p}{2\pi r} \sin \theta - v_\infty y = \frac{p}{2\pi r} \sin \theta - v_\infty r \sin \theta = \left(\frac{p}{2\pi r} - v_\infty r \right) \sin \theta = \Psi \quad (5.39)$$

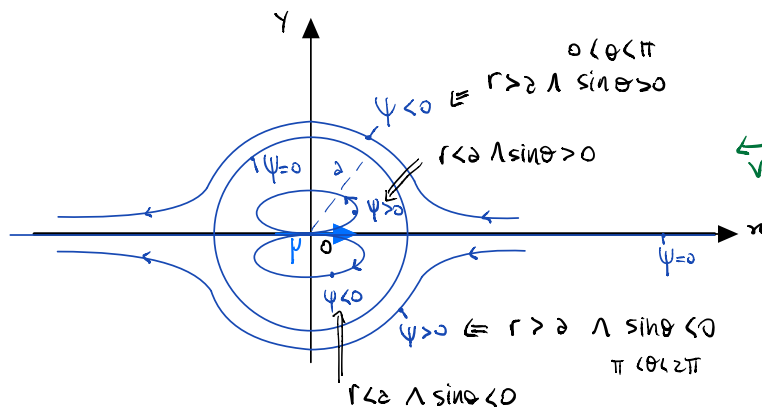
linee $\Rightarrow \Psi = 0 \Leftrightarrow \begin{cases} \cdot \sin \theta = 0 \Leftrightarrow \theta = 0, \theta = \pi \\ \cdot \frac{p}{2\pi r} = v_\infty r \Leftrightarrow p = 2\pi v_\infty r^2 \Rightarrow r = \sqrt{\frac{p}{2\pi v_\infty}} \triangleq a \end{cases}$

raggio della circonferenza $\Rightarrow \psi = 0 \quad (5.40)$

OSSVII) $v_\infty \uparrow$ e $p = \text{cost}$ $\Rightarrow r \downarrow$

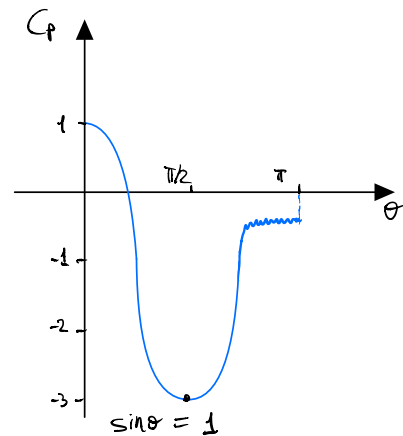
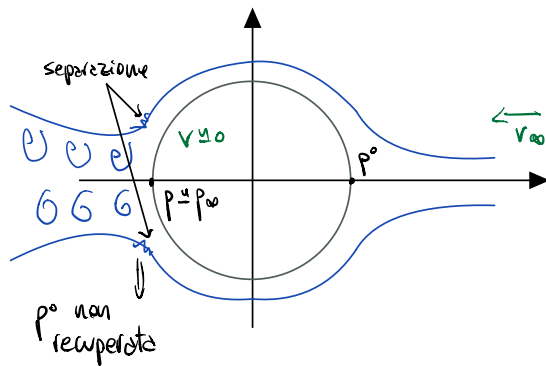
OSSIX) tali linee sono 2 semirette ($\theta = 0$ e $\theta = \pi$) e una circonferenza di raggio a .

$$\text{Da (5.39)} \Rightarrow \Psi = v_\infty \left(\frac{p}{2\pi v_\infty r^2} - 1 \right) r \sin \theta = v_\infty \left(\frac{a^2}{r^2} - 1 \right) r \sin \theta = \Psi \quad (5.41)$$



OSSX) Questo campo di moto simula quello che si genera attorno a un cilindro (indefinito) investito da corrente uniforme (il campo interno non esiste in quel caso)
 OSSVII) Leg 6.3 ($\leftarrow ..\right)$ \Rightarrow Sostituzione lsc circonferenziale con parete solida cilindrica

Caso di fluido reale

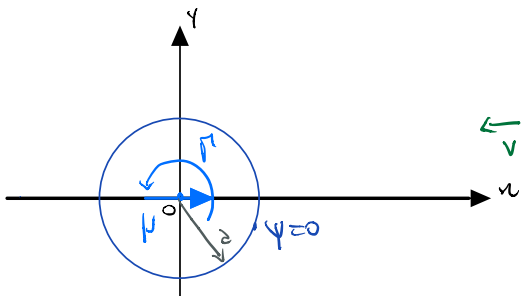


OSS^{III}) Simmetria sopra-sotto $\Rightarrow L=0$; Asimmetria davanti-dietro $\Rightarrow D \neq 0$

Resistenze 2D
↓ 3D

- Resistenza di forma (o di pressione)
 - Resistenza d'attrito
 - Resistenza d'onda
 - Resistenza indotta
- ↑ maggiore di Dattrito nel caso (come questo) di corpi tozzi.

d2) Vortice + Doppietto + Corrente uniforme



$$\vec{V} = -V_\infty \hat{i} \quad r_0 = \Delta$$

come fatto per (5.39) si potrebbero sommare i 3 contributi. Conoscendo però già il caso d1), gli si aggiunge il contributo di Γ

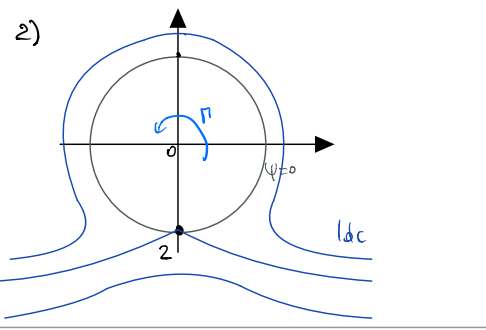
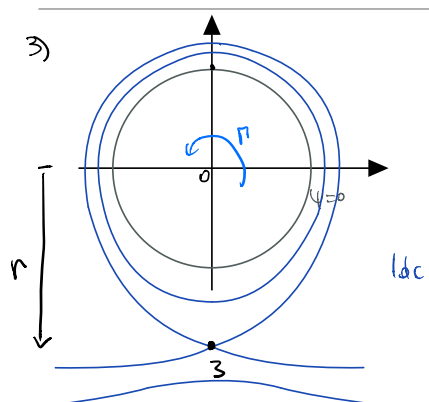
$$(5.40) \Rightarrow (5.41) \Rightarrow (5.44) \quad \psi = V_\infty \left(\frac{\Delta^2}{r^2} - 1 \right) r \sin \theta + \left(\frac{-\Gamma}{2\pi} \ln \frac{r}{\Delta} \right) \rightarrow [r=\Delta \Rightarrow \psi=0]$$

OSS^{IV}) Questo campo simula quello di un cilindro (infinito) investito da corrente uniforme e posto in rotazione dal vortice.

OSS^{VII}) 3.3 c) (\leftarrow) \Rightarrow Studio del campo di moto di cilindro rotante

$$z) \Gamma = \Gamma_{\lim} = 4\pi V_\infty \delta \Rightarrow \theta = \frac{3\pi}{2} (= -\frac{\pi}{2})$$

p.d. d. coincidenti in 2 (condizioni limite)



$$3) \boxed{\Gamma > 4\pi V_\infty \delta} \quad p.d. d. \quad \Rightarrow \theta = -\frac{\pi}{2}$$

ma lontani dalla superficie

(distanza $r > \delta$)

\downarrow

$r \neq \delta$

\downarrow

$r > \delta$

$$\text{se } r > \delta : \begin{cases} v_r = V_\infty \left(\frac{\delta^2}{r^2} - 1 \right) \cos \theta \rightarrow v_r = 0 \Leftrightarrow \cos \theta = 0 \text{ OK in } \theta = -\frac{\pi}{2} \end{cases}$$

$$\text{ma } \theta = -\frac{\pi}{2} \quad \begin{cases} v_t = V_\infty \left(\frac{\delta^2}{r^2} + 1 \right) \sin \theta + \frac{\Gamma}{2\pi r} \rightarrow (5.47) \quad v_t = 0 \Leftrightarrow V_\infty \left(\frac{\delta^2}{r^2} + 1 \right) \sin \left(-\frac{\pi}{2} \right) + \frac{\Gamma}{2\pi r} = 0 \end{cases}$$

$$\Rightarrow -V_\infty \frac{\delta^2}{r^2} - V_\infty + \frac{\Gamma}{2\pi r} = 0 \Leftrightarrow \frac{\delta^2}{r^2} + 1 = \frac{\Gamma}{2\pi V_\infty r} \rightarrow$$

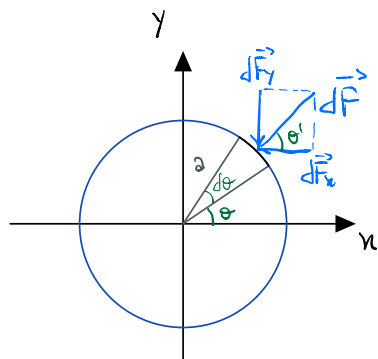
$$(5.48) \quad \boxed{r^2 - \frac{\Gamma}{2\pi V_\infty} r + \delta^2 = 0} \rightarrow r = \frac{1}{2} \left(\frac{\Gamma}{2\pi V_\infty} \pm \sqrt{\left(\frac{\Gamma}{2\pi V_\infty} \right)^2 - 4\delta^2} \right)$$

$$r = \frac{\Gamma}{4\pi V_\infty} \pm \sqrt{\left(\frac{\Gamma}{4\pi V_\infty} \right)^2 - \delta^2} = \delta \left[\frac{\Gamma}{4\pi V_\infty \delta} + \sqrt{\left(\frac{\Gamma}{4\pi V_\infty \delta} \right)^2 - 1} \right] = r \quad (5.49)$$

segno + poiché $r > \delta$

Oggetto: valutare la distribuzione di pressione e integrarla per ricevere le forze aerodinamiche agenti (Fluido ideale $\Rightarrow D=0$ ma $L \neq 0$. $L \mapsto \Gamma$)

\Rightarrow s.5) Teorema di Kutta - Joukowski



$$\theta' \approx \theta$$

$$dF = (\rho - \rho_\infty) \sin \theta \, d\theta \quad (\text{per unità di lunghezza})$$

$$dF_x = -(\rho - \rho_\infty) \sin \theta \cos \theta \quad \text{"}$$

$$dF_y = -(\rho - \rho_\infty) \sin \theta \sin \theta \quad \text{"}$$

$$(5.52) \Rightarrow dF_x = -\left(-\frac{\rho V_\infty \Gamma}{\pi} \sin \theta\right) \sin \theta \cos \theta = \frac{\rho V_\infty \Gamma}{\pi} \sin^2 \theta \cos \theta \quad (5.53)$$

$$dF_y = -\left(-\frac{\rho V_\infty \Gamma}{\pi} \sin \theta\right) \sin \theta \sin \theta = \frac{\rho V_\infty \Gamma}{\pi} \sin^2 \theta \sin \theta \quad (5.54)$$

$$F_x = \int_0^{2\pi} dF_x = \int_0^{2\pi} \frac{\rho V_\infty \Gamma}{\pi} \sin^2 \theta \cos \theta d\theta = \frac{\rho V_\infty \Gamma}{\pi} \frac{\cos 2\theta}{4} \Big|_0^{2\pi} = \frac{\rho V_\infty \Gamma}{\pi} \frac{0-0}{4} \equiv 0 = 0 \quad \begin{array}{l} \text{Paradosso} \\ \text{di D'Alembert} \end{array}$$

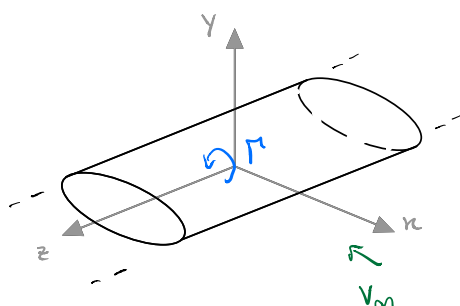
$$F_y = \int_0^{2\pi} dF_y = \int_0^{2\pi} \frac{\rho V_\infty \Gamma}{\pi} \sin^2 \theta \sin \theta d\theta = \frac{\rho V_\infty \Gamma}{\pi} \left(\frac{\theta - \sin \theta \cos \theta}{2} \right) \Big|_0^{2\pi} = \frac{\rho V_\infty \Gamma}{\pi} \pi \equiv L = \rho V_\infty \Gamma \quad (5.55)$$

Teorema di Kutta - Joukowski (5.55)

Note ρ, V_∞, Γ si ottiene la portanza L .

oss) Tale risultato si ottiene anche con una sezione del cilindro di geometria generica (dimostrazione nel libro), quindi anche per profili alari.

es:



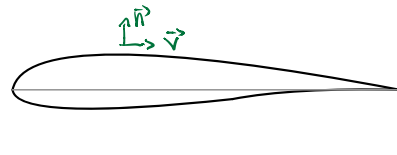
$$(\vec{r} = r \hat{K}, \vec{v}_\infty = V (-\hat{t}))$$

$$\vec{L} = \rho \vec{v}_\infty \times \vec{r} \hat{K} \quad (5.56) \quad (\rightarrow \text{Effetto Magnus})$$

$$\Rightarrow \vec{L} = \rho V_\infty r \hat{J}$$

Problema del profilo sull'aria portante

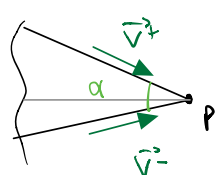
$$\alpha T \rightarrow v_\infty$$



$$\begin{cases} \nabla^2 \bar{\Phi} = 0 \\ \vec{v} \cdot \vec{n} = \nabla \bar{\Phi} \cdot \vec{n} = 0 \quad (\text{a parete}) \\ \vec{v}_\infty = \nabla \bar{\Phi}_\infty \quad (\text{in campo lontano}) \end{cases} \begin{array}{l} \text{condizioni} \\ \text{al contorno} \end{array}$$

imponendo le 3a: condizione di Kutta: regolarità della corrente al bordo di fuga.

I) bordo di fuga ad angolo finito



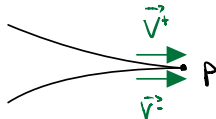
$\alpha > 0$: al limite della corda ($x_c = c - \epsilon$)

$$v_n^+ \neq v_n^- \Rightarrow P \text{ punto di arresto}$$

In particolare, v_n^+ opposto a $v_n^- \Rightarrow$ discontinuità

$$v_n^+ \downarrow \rightarrow v^+ \\ v_n^- \uparrow \rightarrow v^-$$

II) bordo di fuga a cuspidate



$\alpha = 0$: al limite della corda ($x_c = c - \epsilon$)

$$v^+ \parallel v^- \rightarrow \begin{array}{l} \text{Bernoulli} \\ \left\{ \begin{array}{l} p^+ + \frac{1}{2} \rho v^+ = p^- + \frac{1}{2} \rho v^- \\ p^+ = p^- \text{ (continuità)} \end{array} \right. \end{array} \Rightarrow v^+ = v^-$$

Circolazione d'aria iniziale equivalente a vortice (Π) e circolazione d'aria dopo il "moto" di P_2 equivalente a vortice ($-\Pi$).

Oss III) durata del transitorio $\Delta t \underset{\text{dell'ordine}}{\sim} \frac{L}{V_\infty}$, l'caratteristica (es: corda)

⇒ Dopo l'allontanamento del vortice, gli effetti della viscosità sono di nuovo trascurabili \rightarrow soddisfatte le condizioni per studiare il fluido come inviscido.

Condizione di Kutta fa tener conto degli effetti di viscosità anche nel caso di fluido inviscido (Quindi, se il fluido non fosse viscoso, non ci sarebbe L)